

FIG. 2

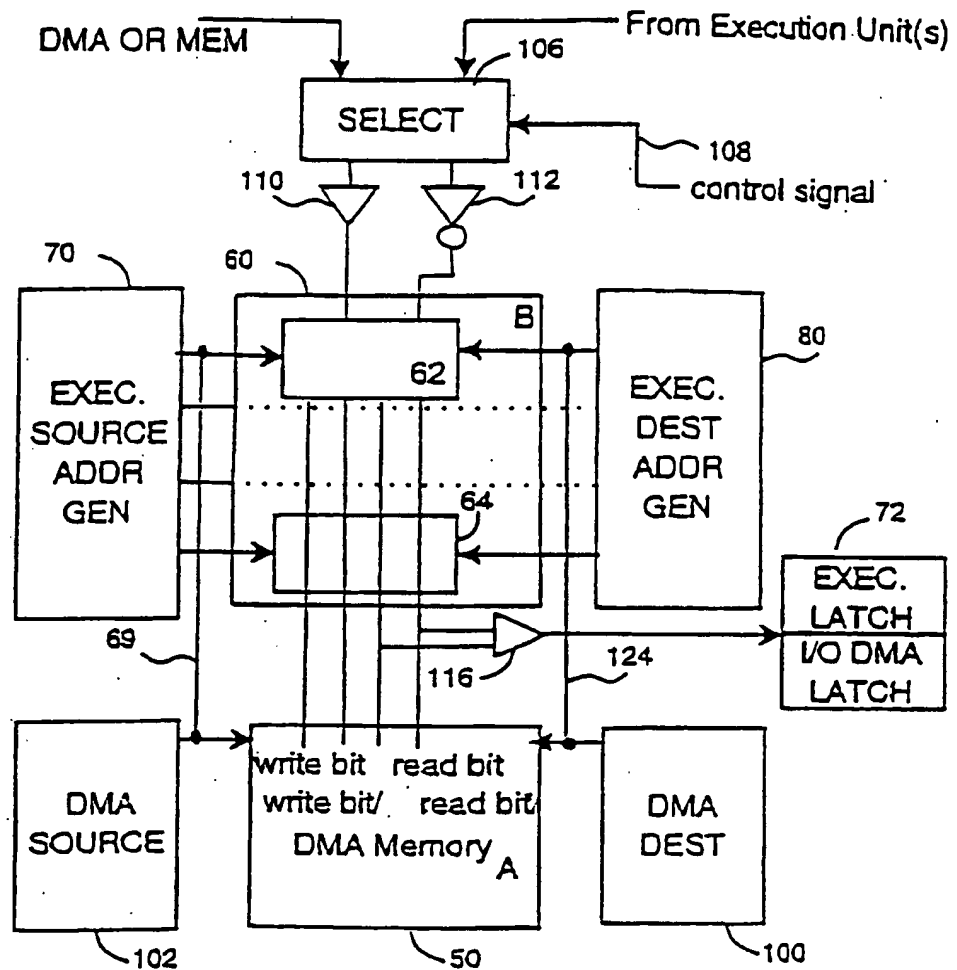
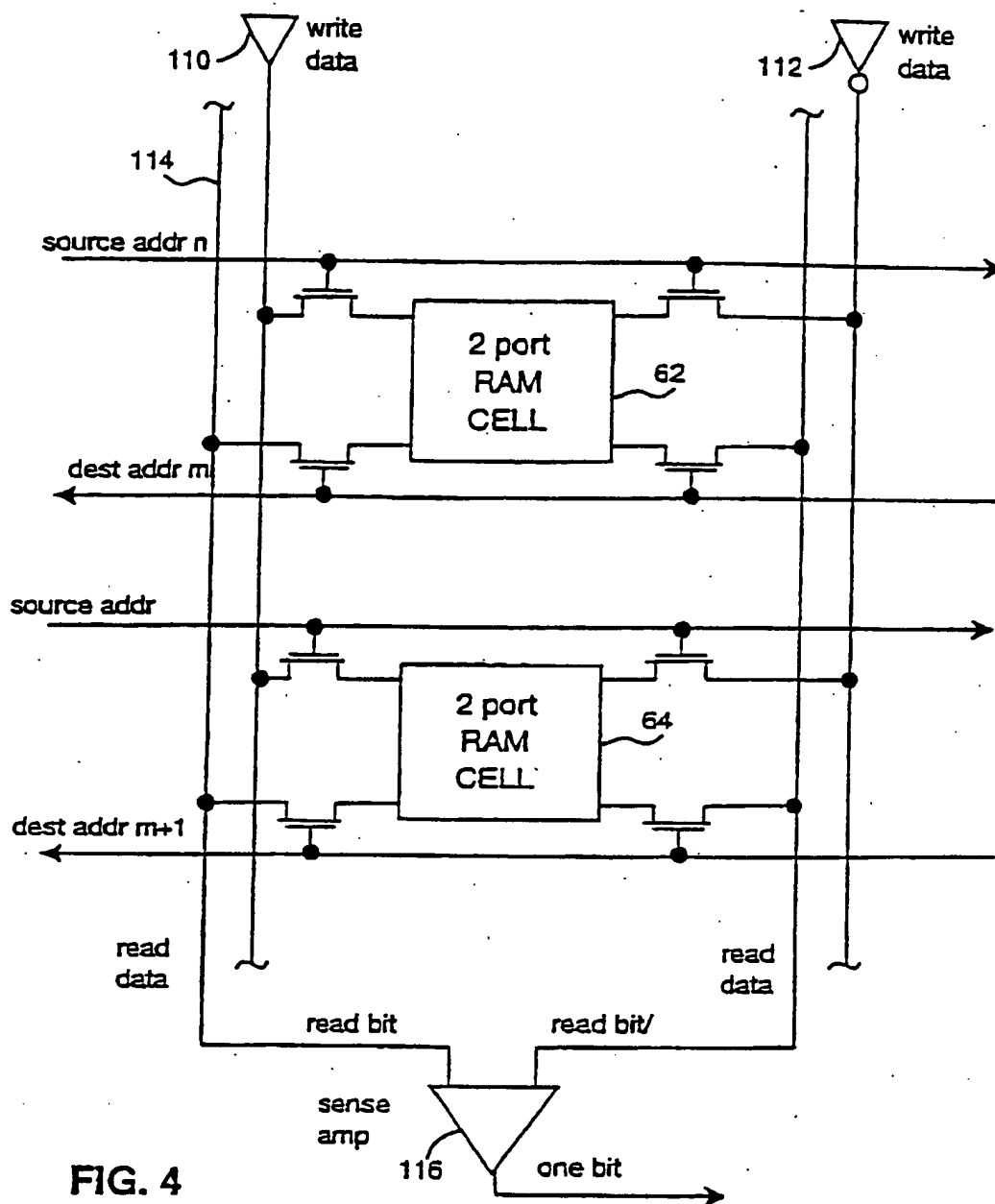
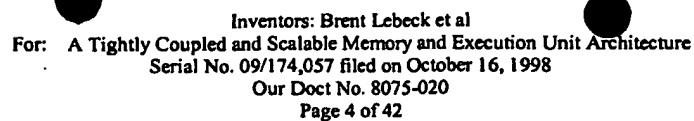
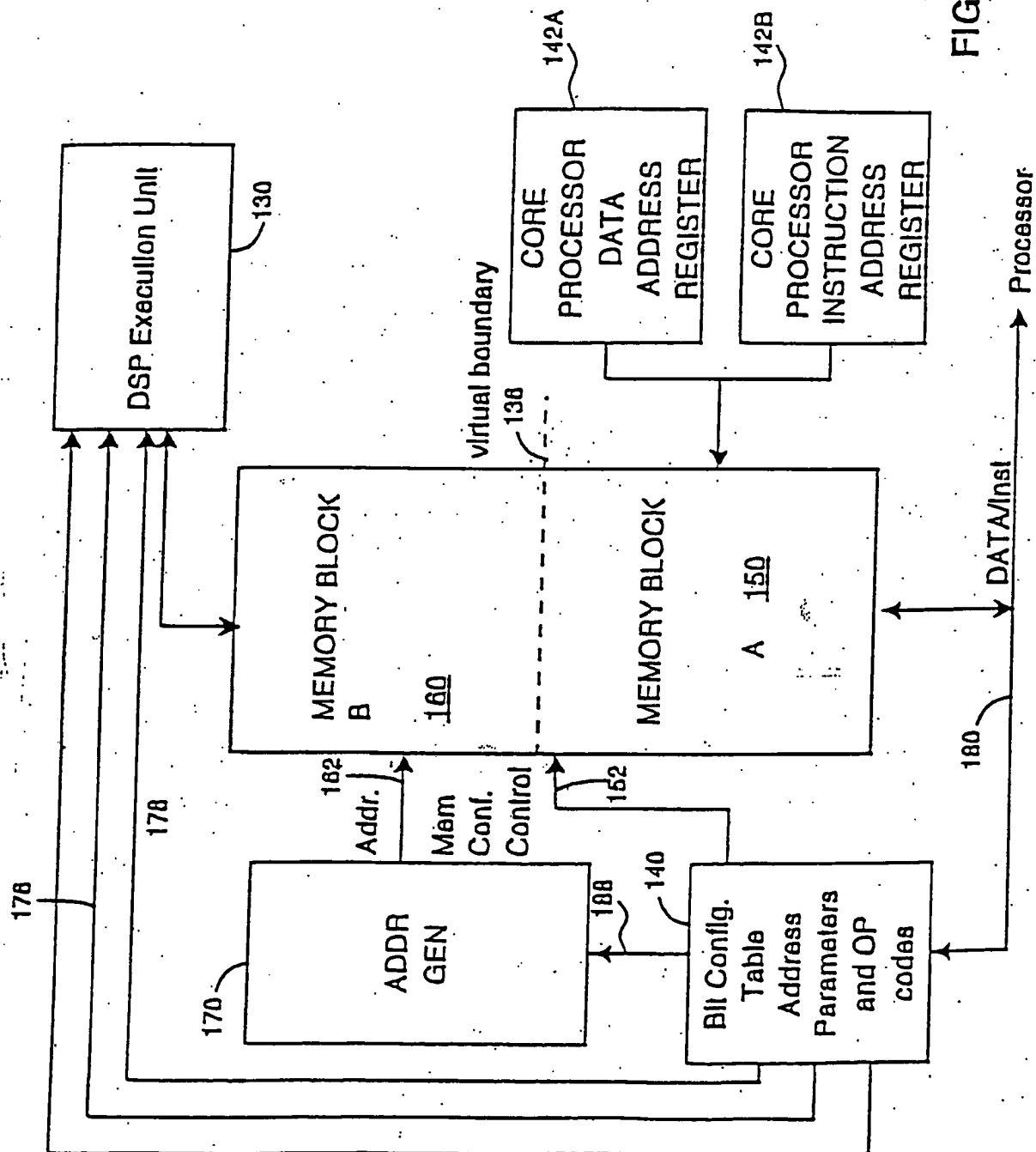
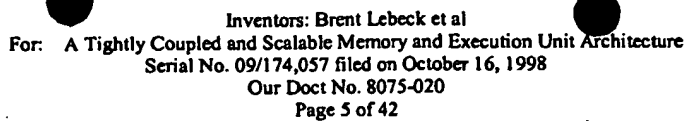


Fig. 3





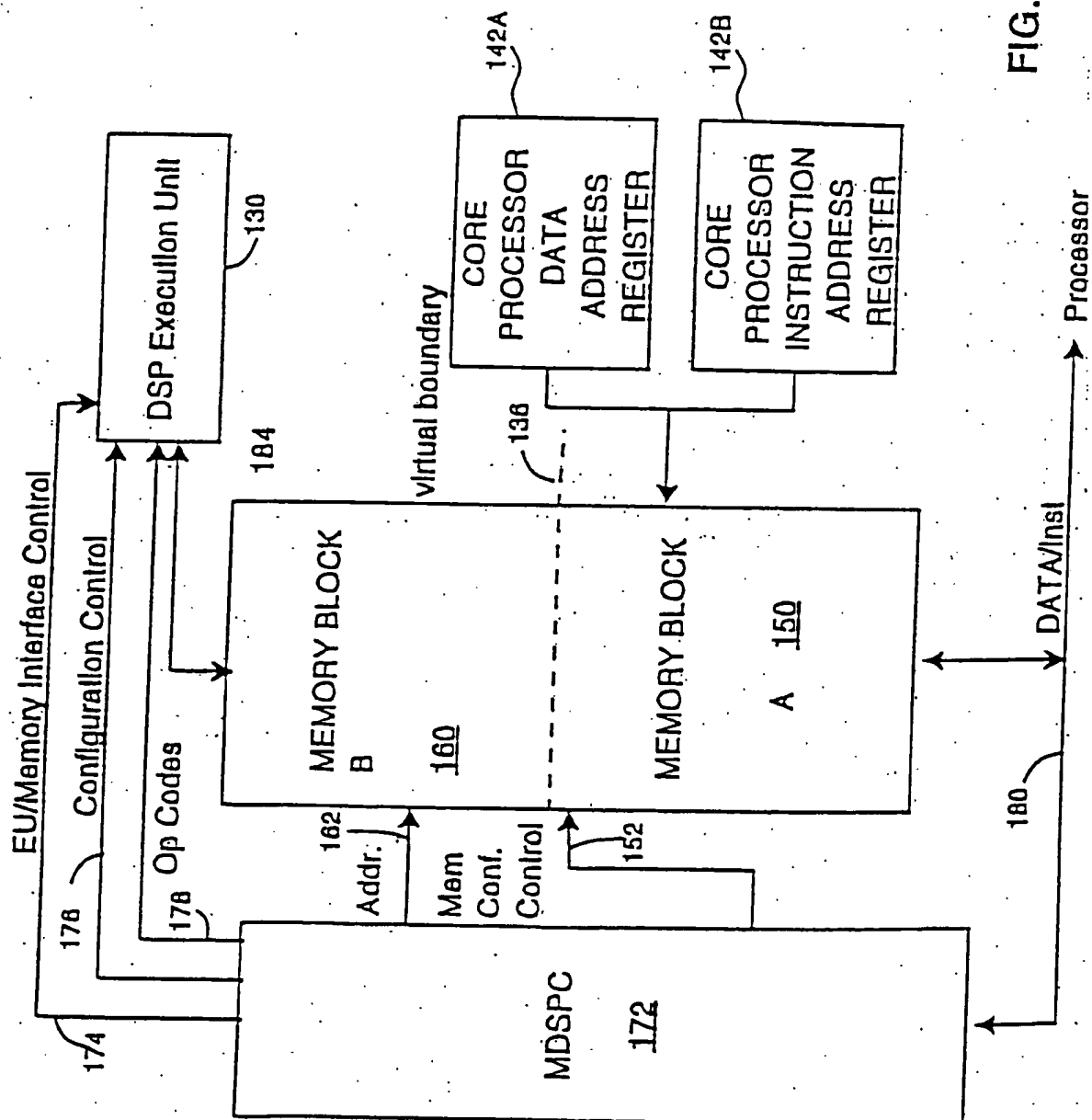
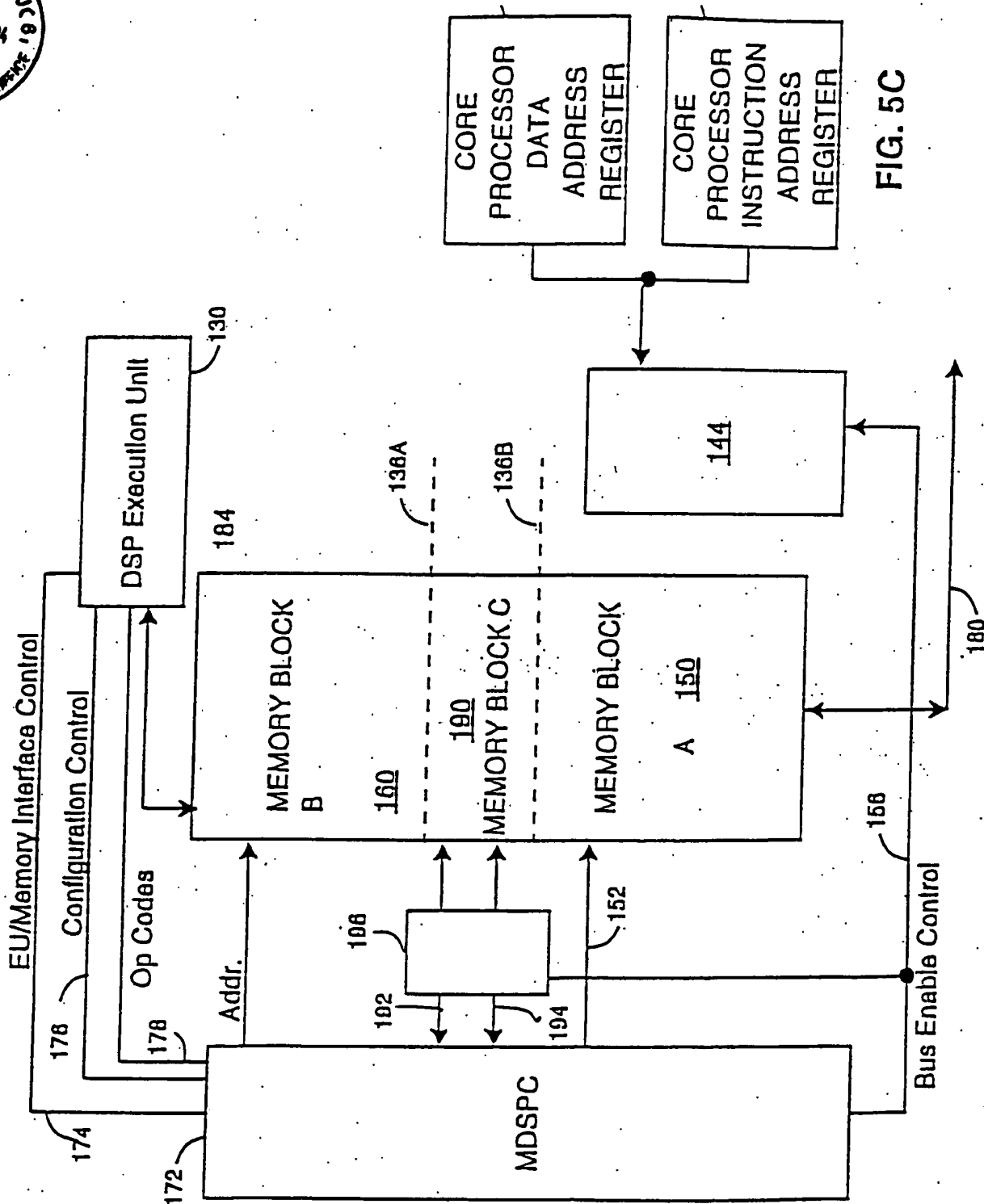


FIG. 5B



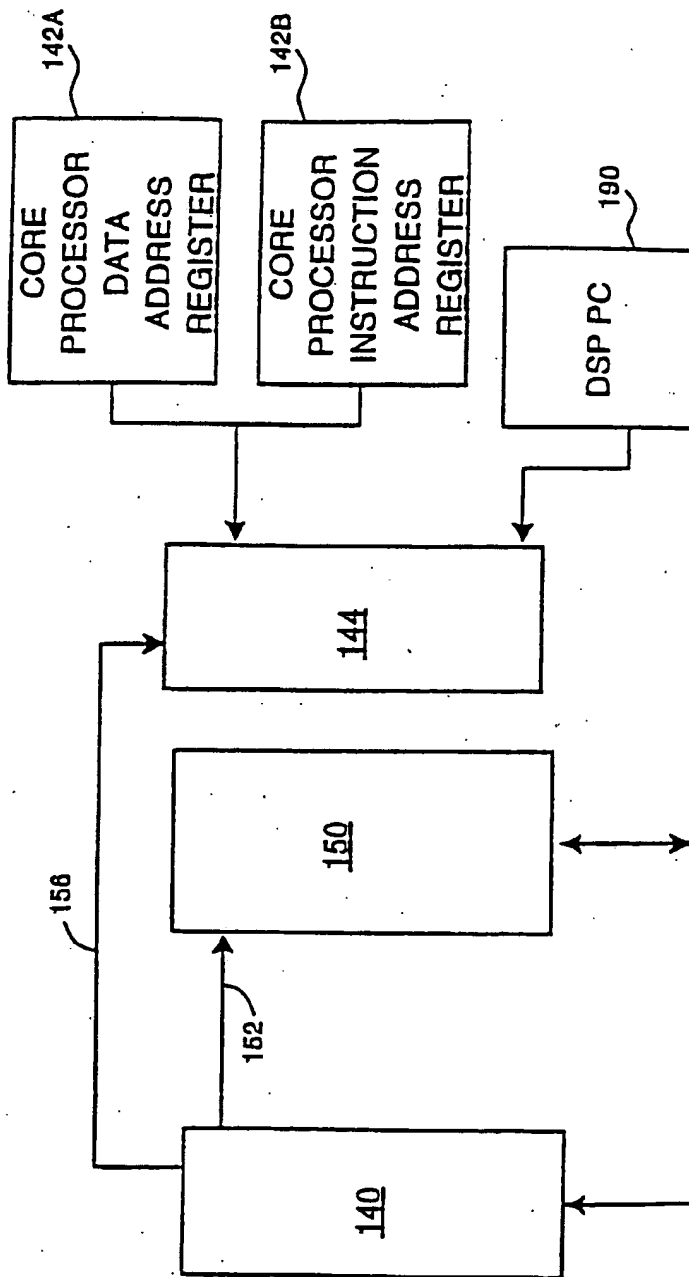


FIG. 6A

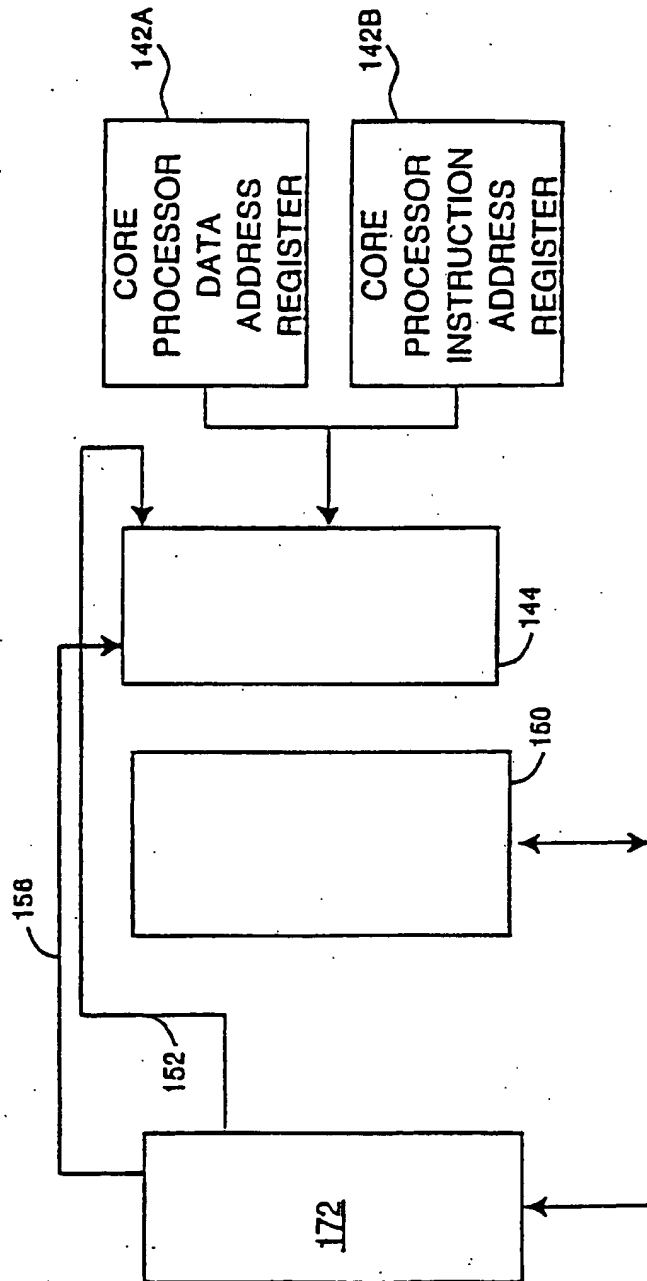


FIG. 6B

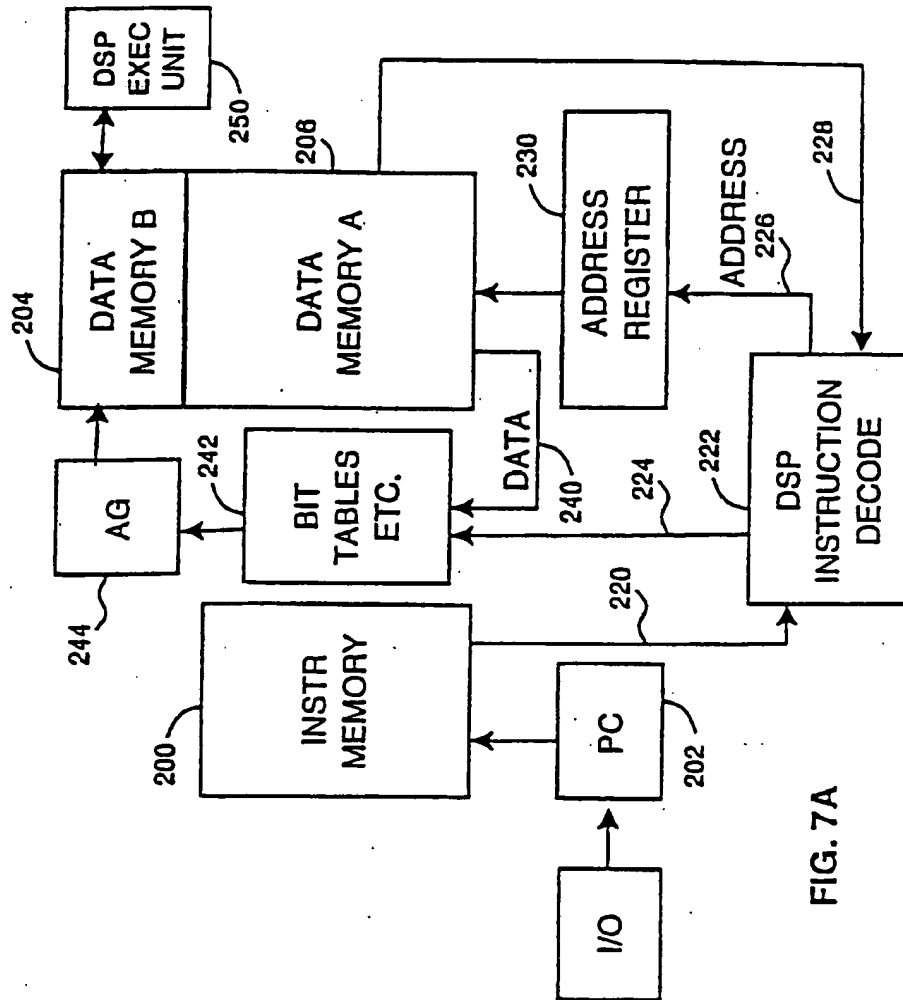


FIG. 7A

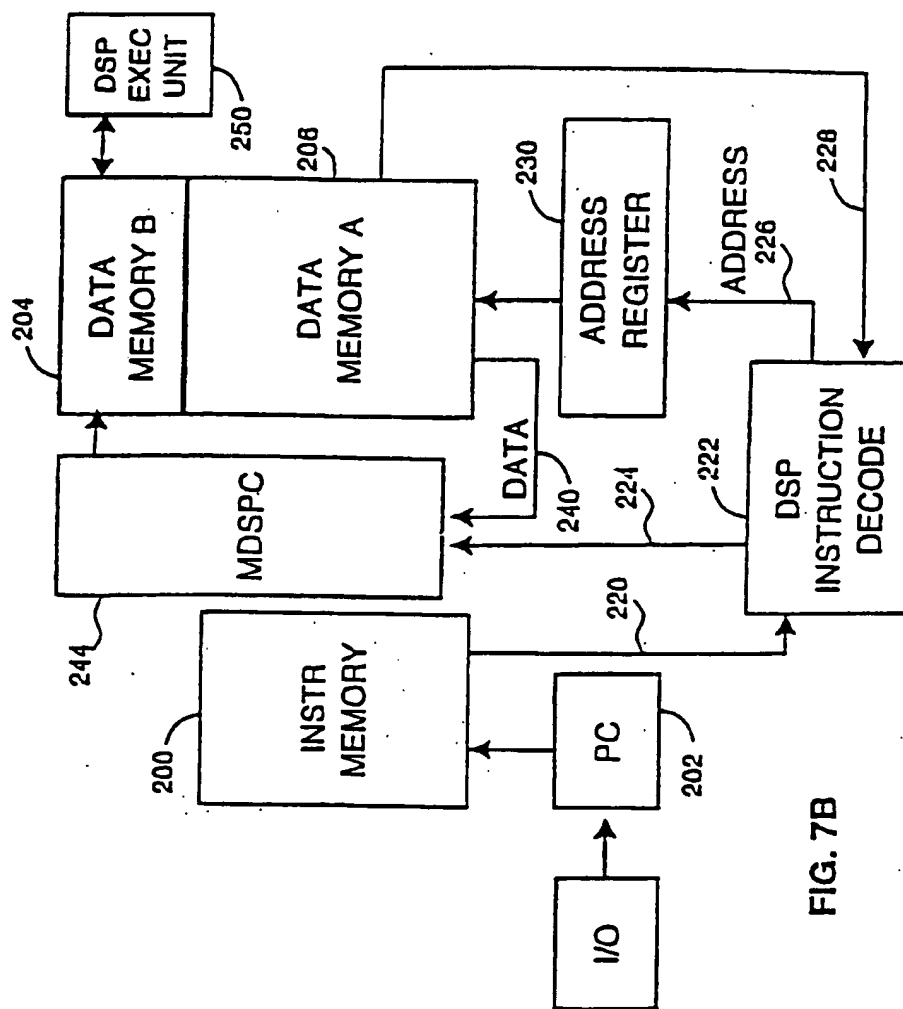


FIG. 7B

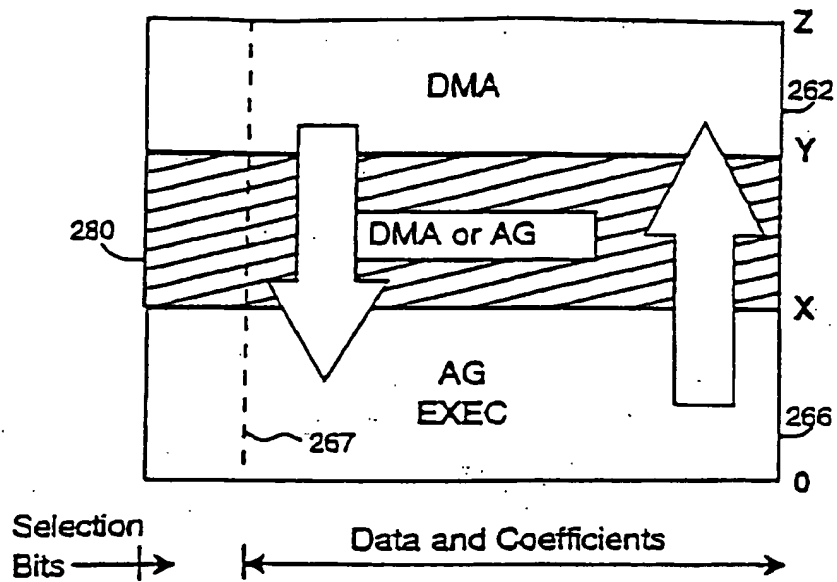


FIG. 8

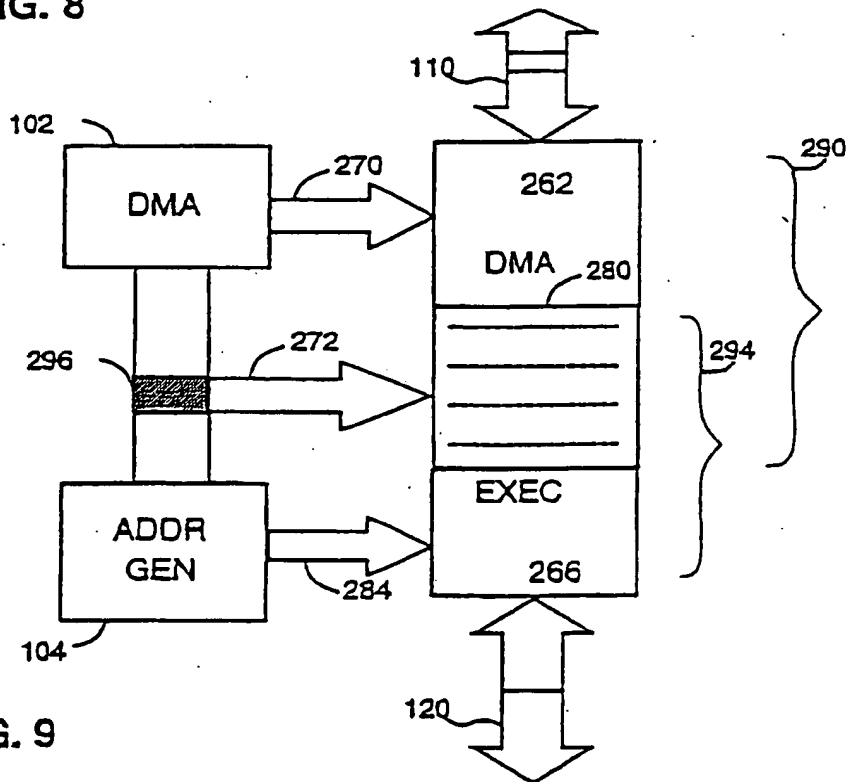


FIG. 9

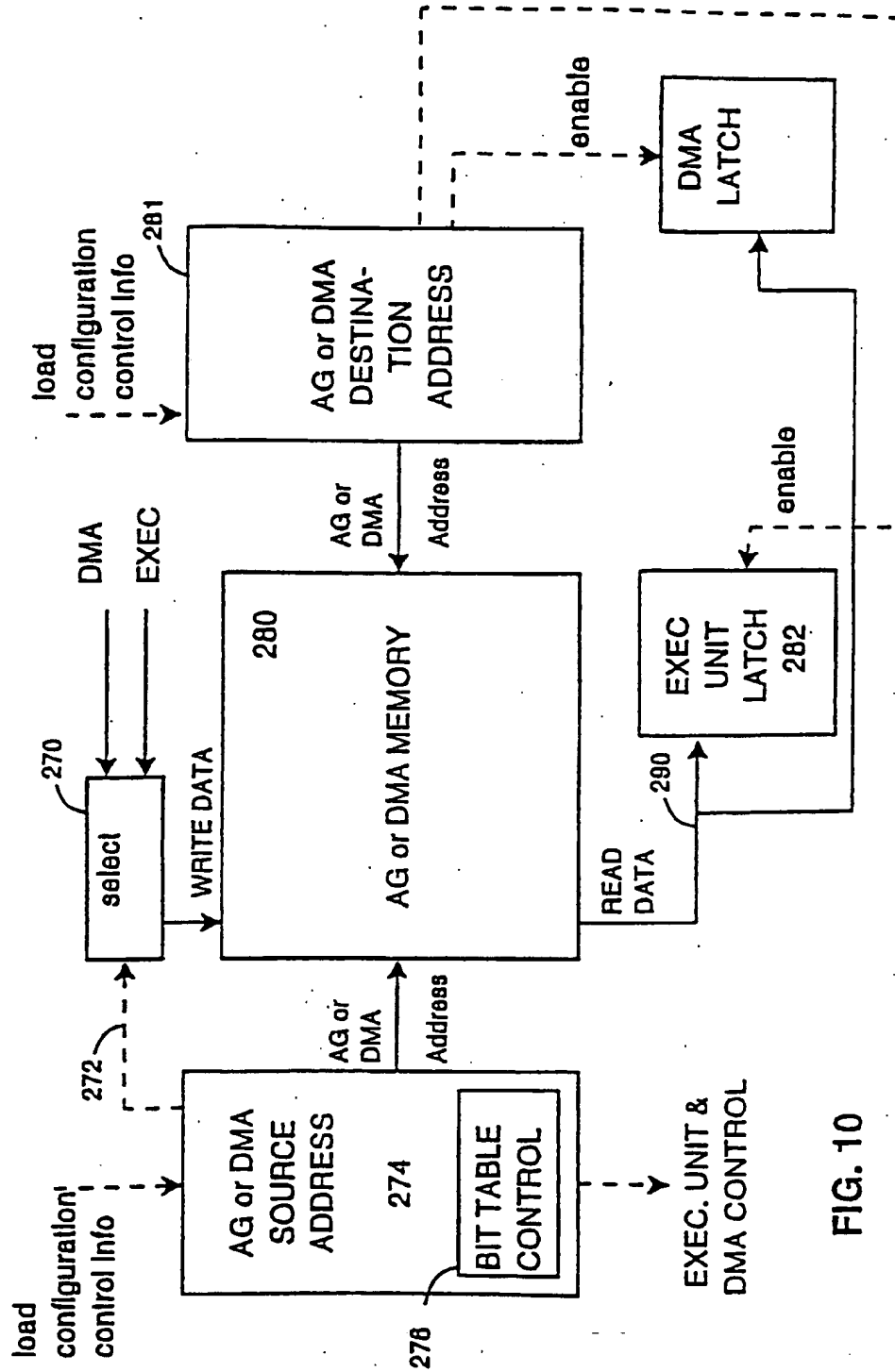


FIG. 10

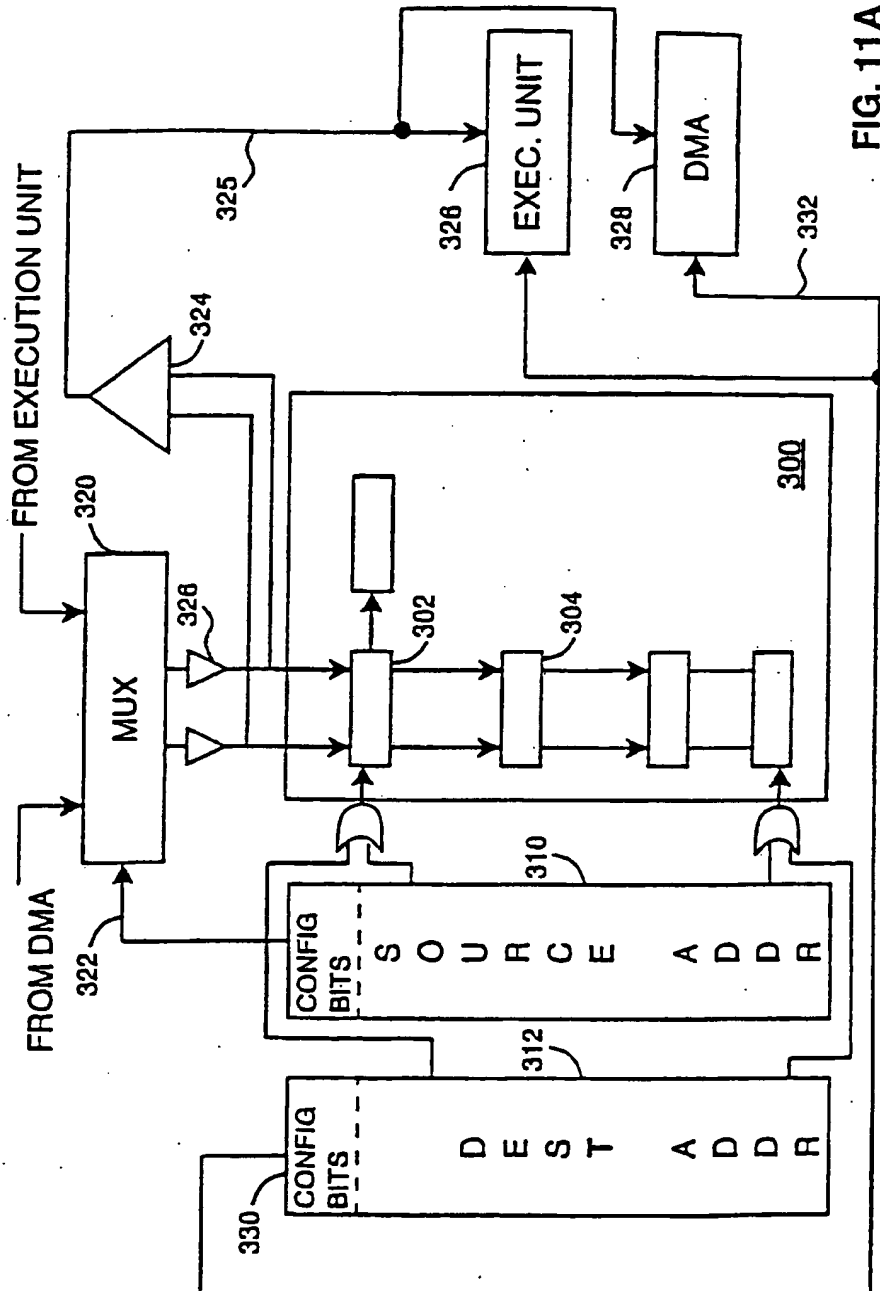


FIG. 11A

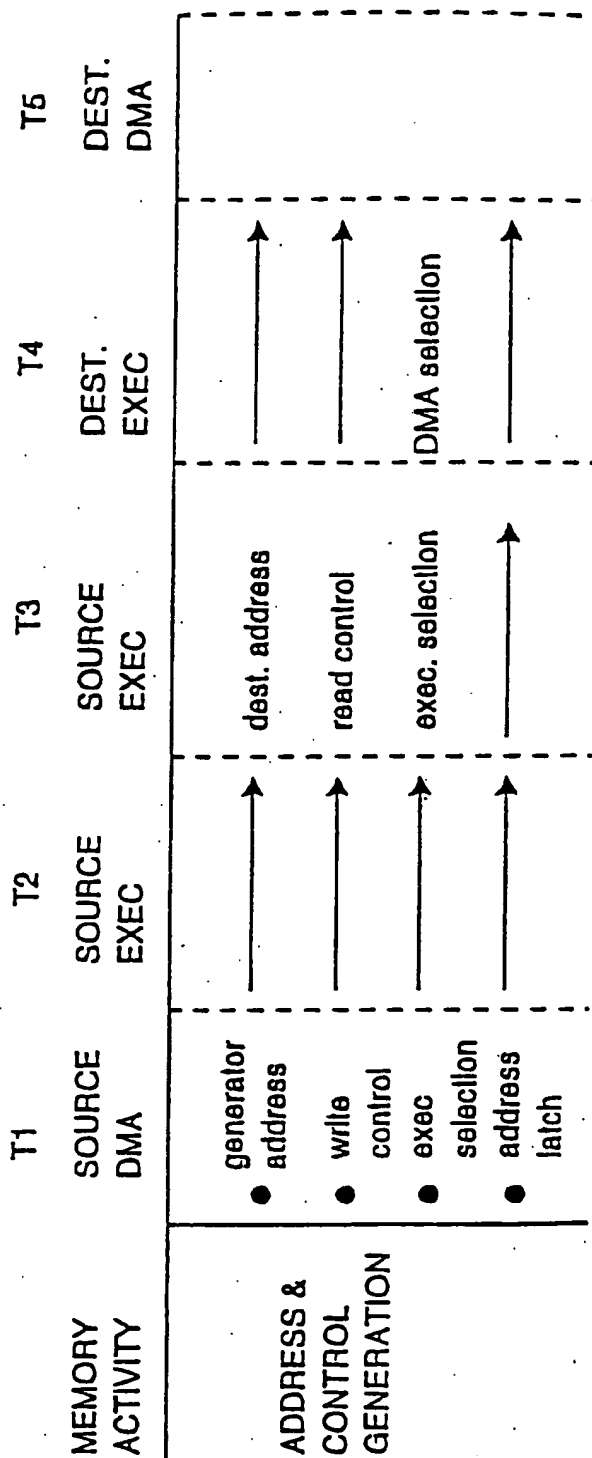


FIG. 11B

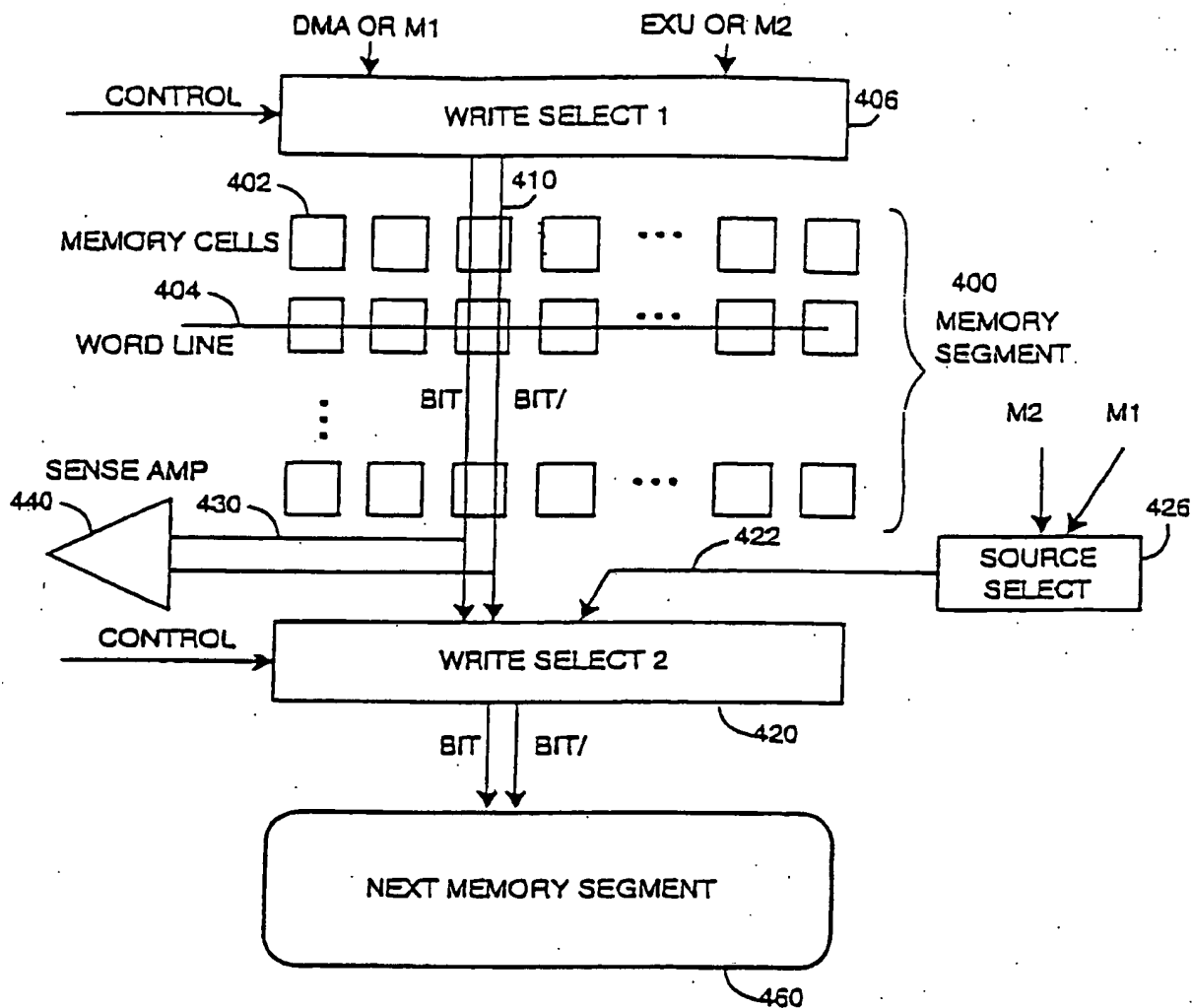
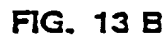
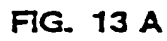
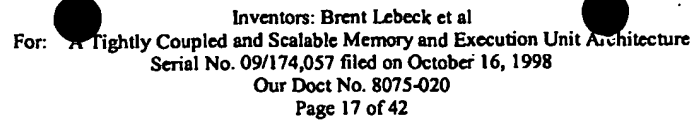


FIG. 12



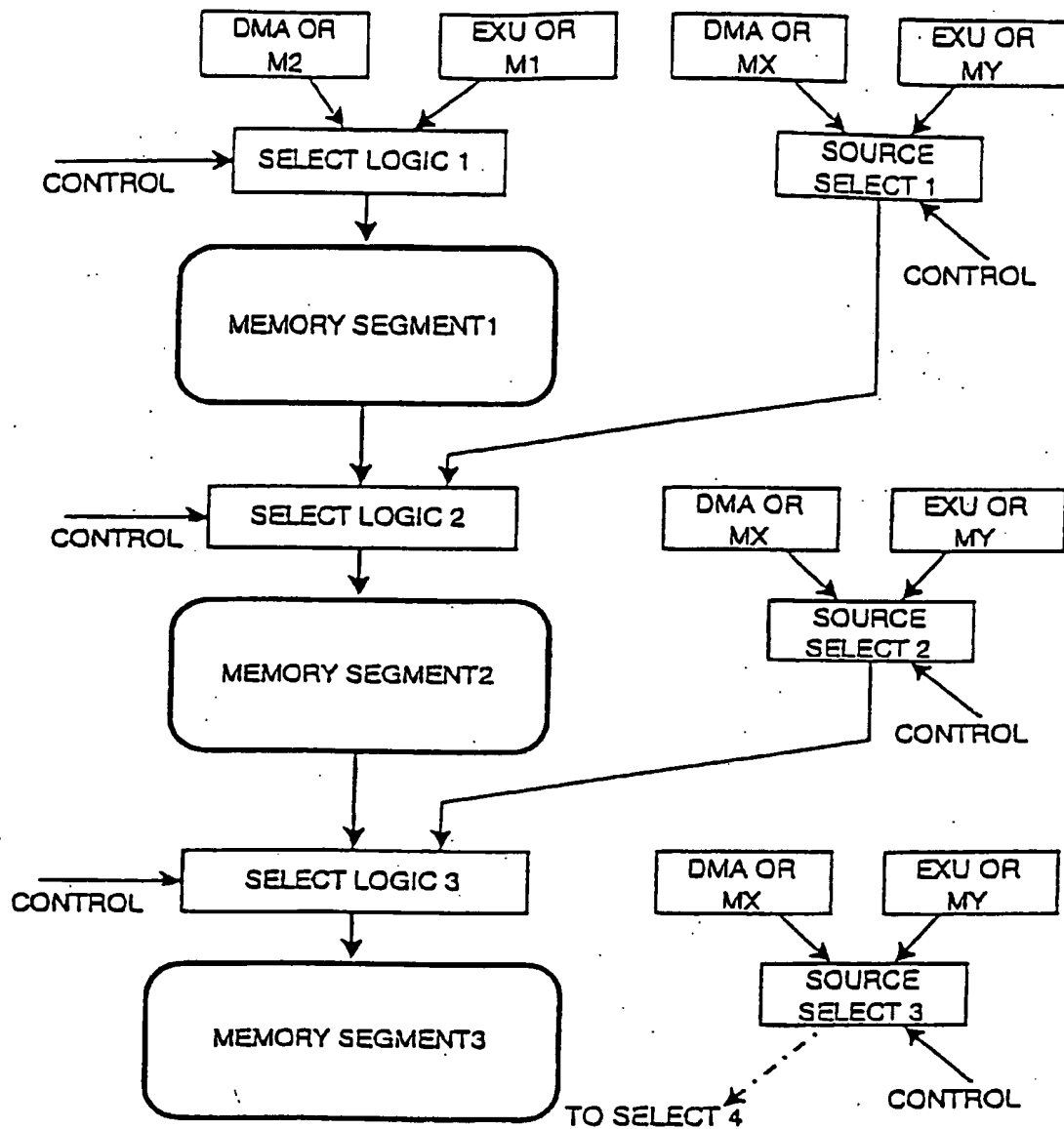
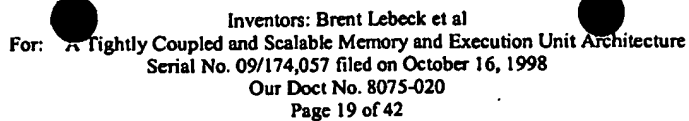
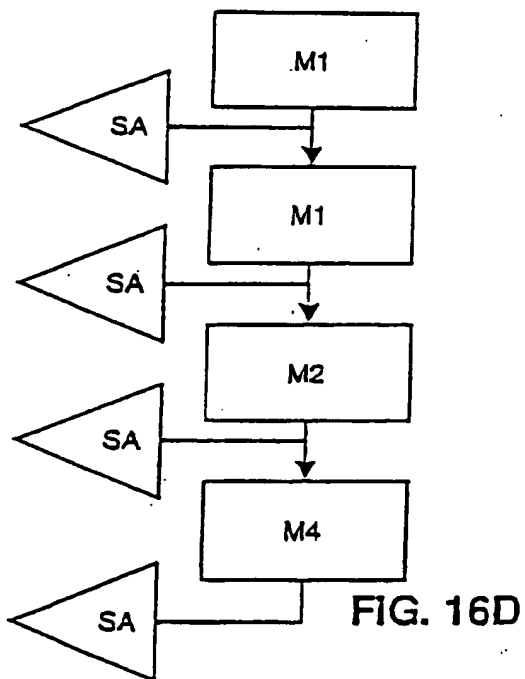
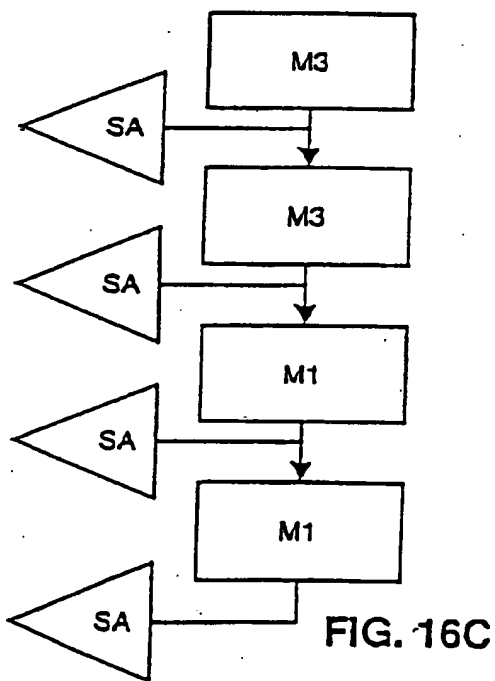
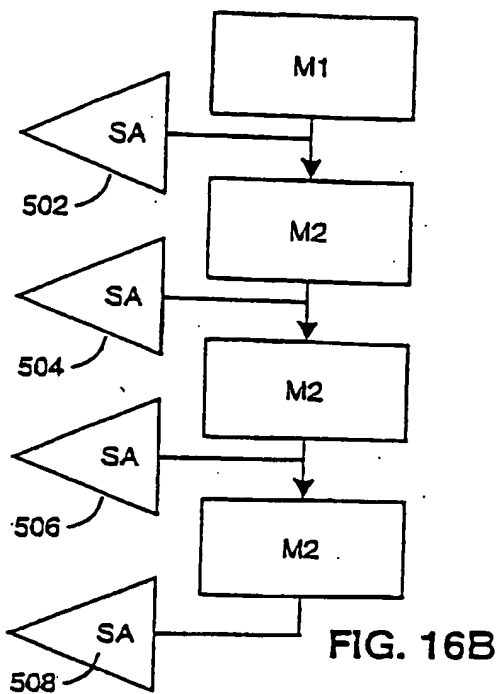
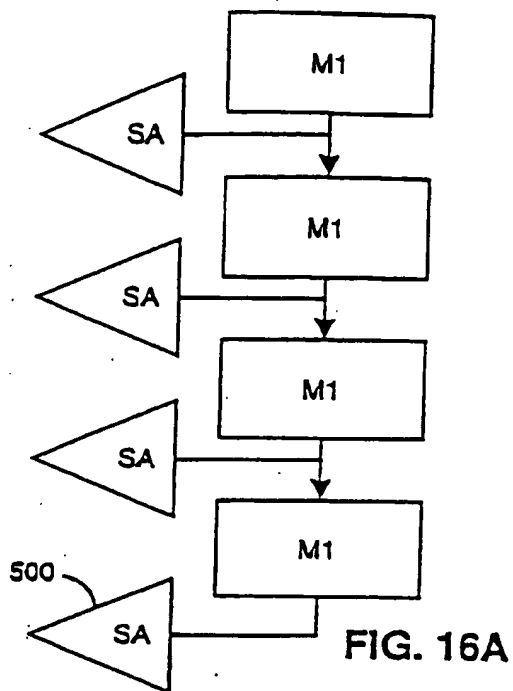


FIG. 14





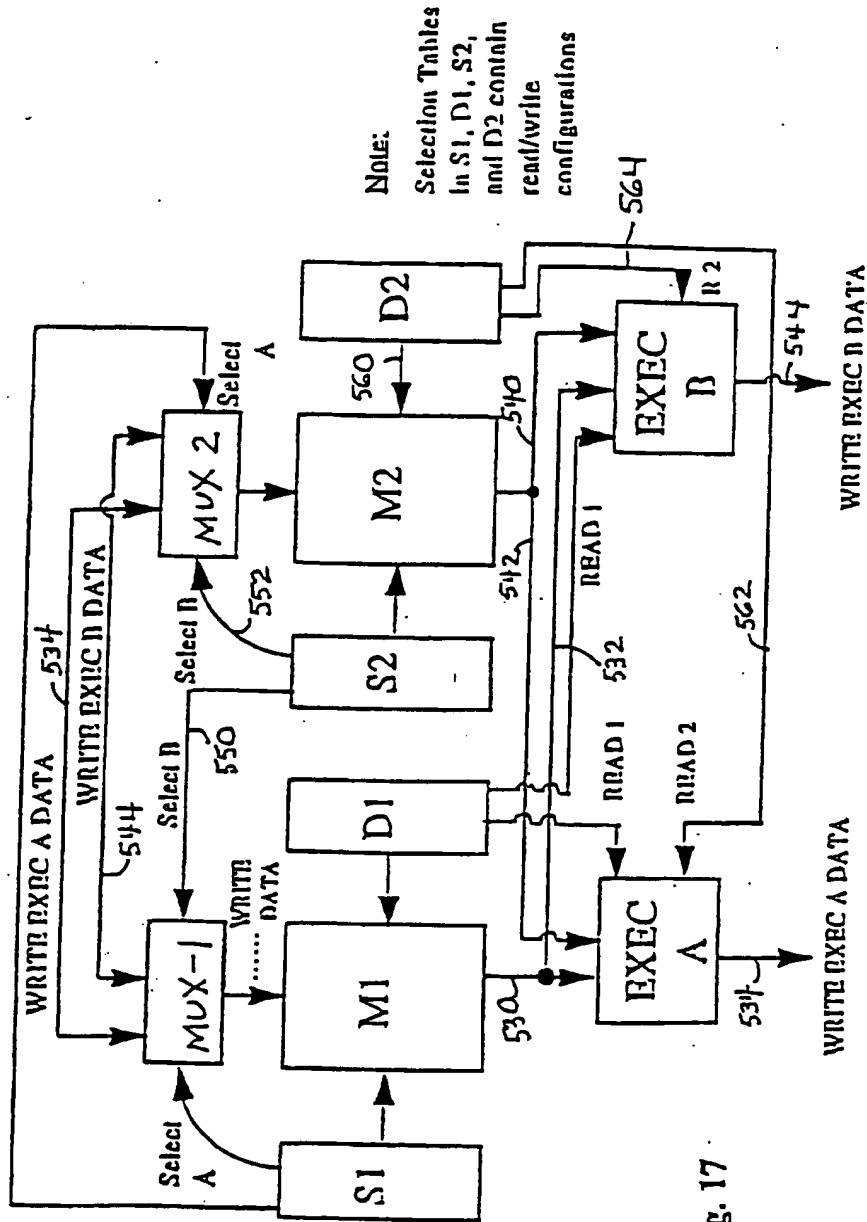


Fig. 17

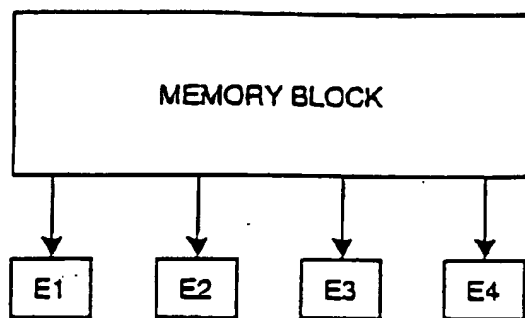


FIG. 18A

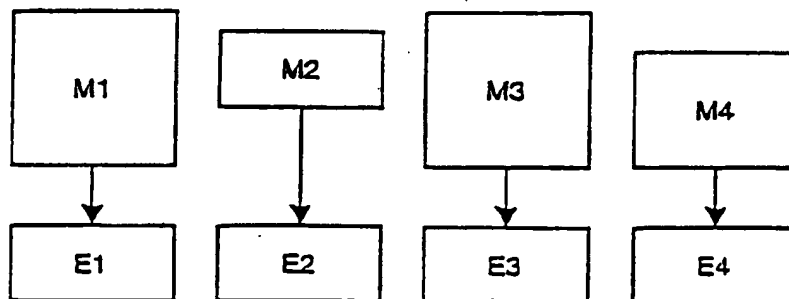


FIG. 18B

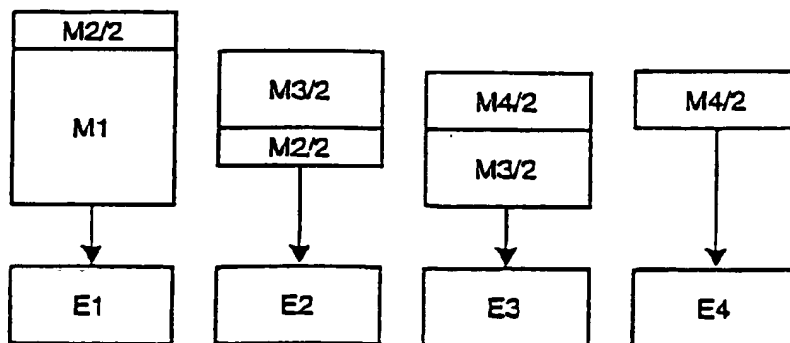


FIG. 18C

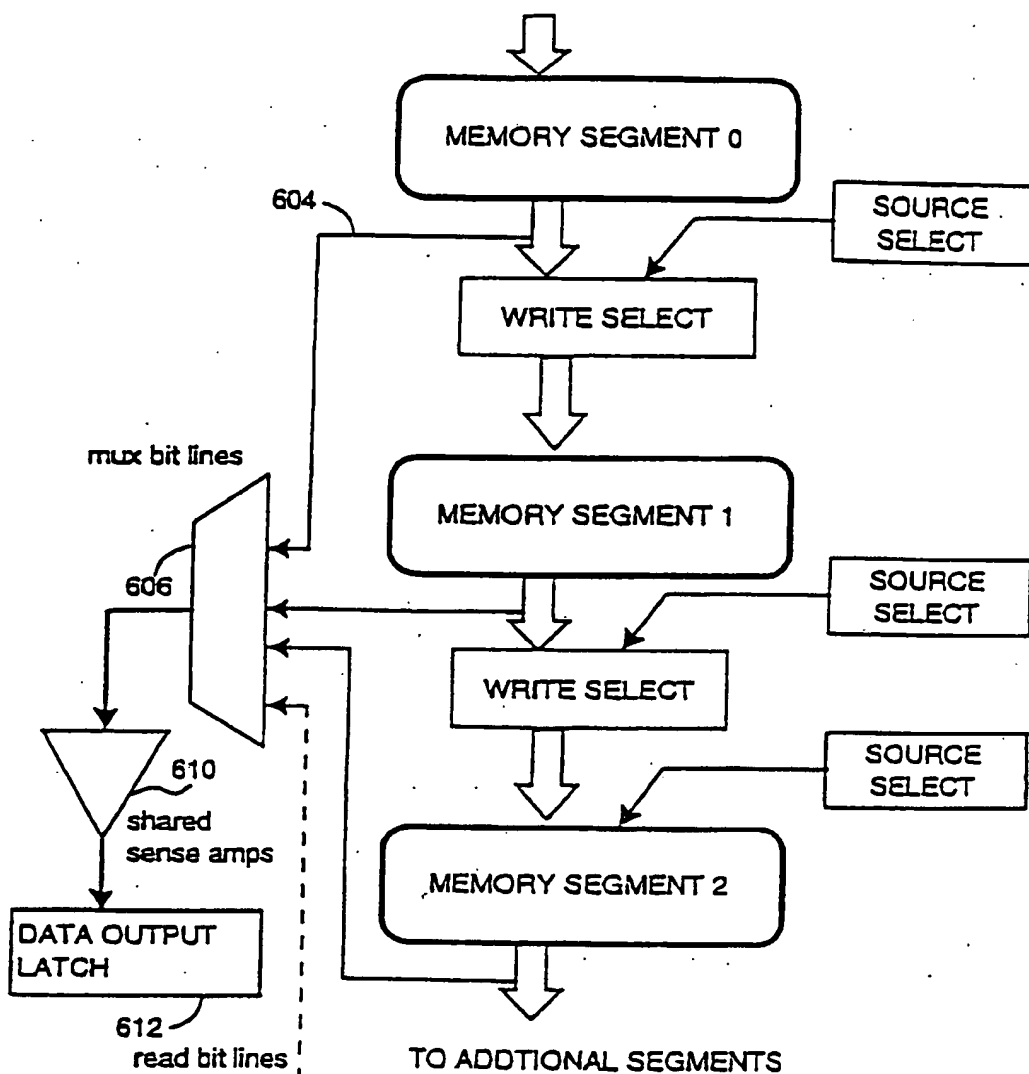


FIG. 19

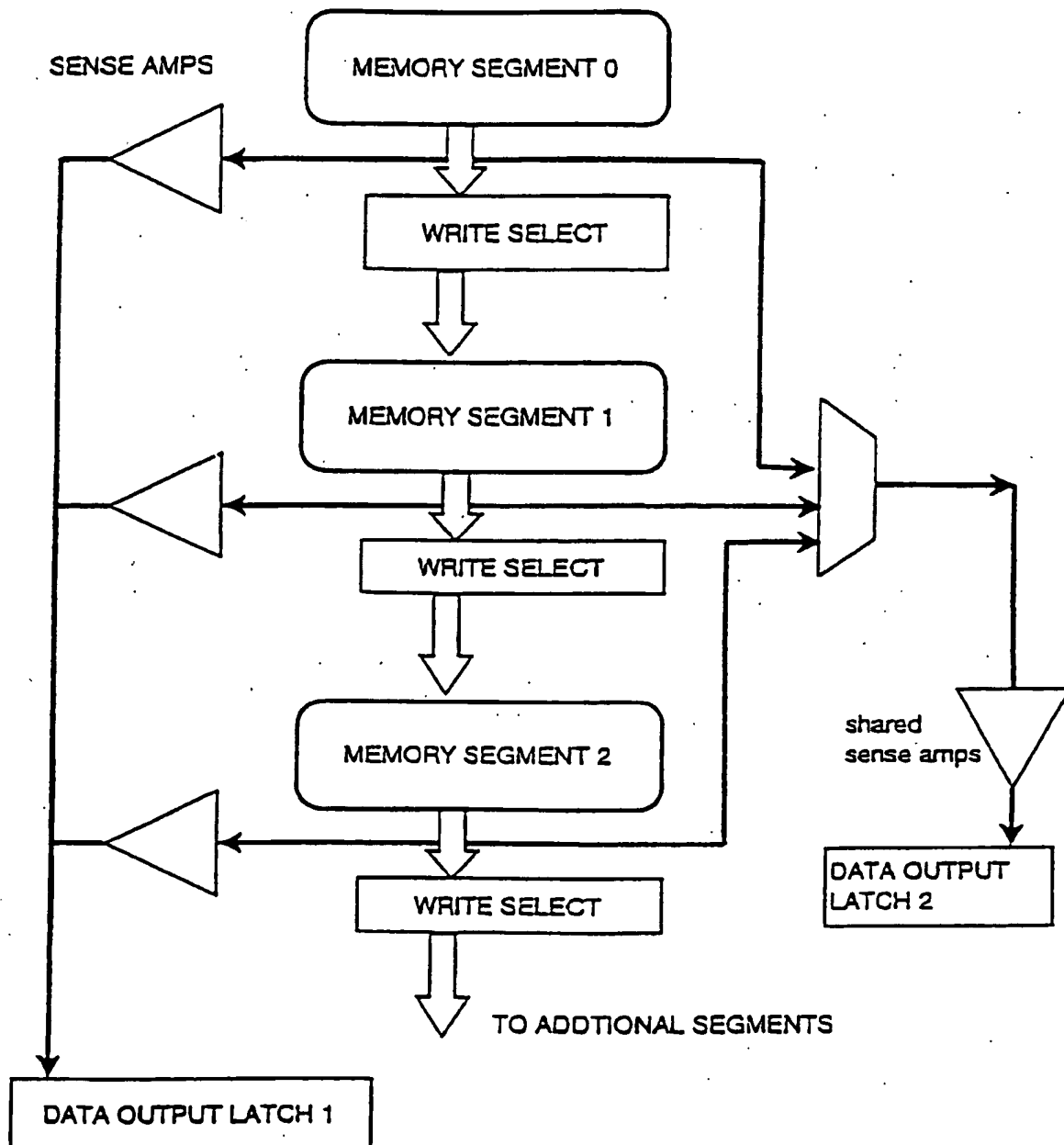


FIG. 20

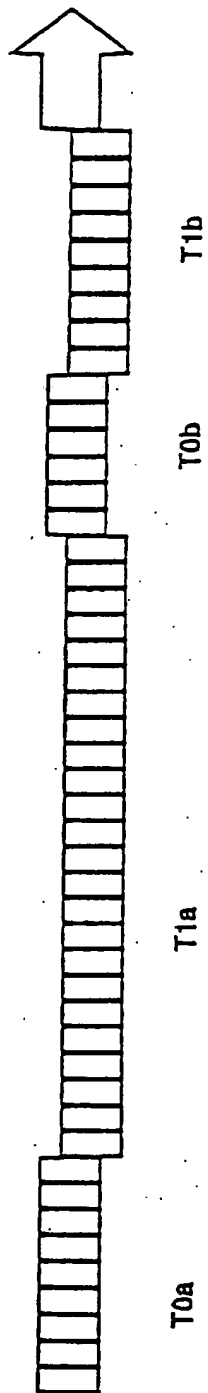
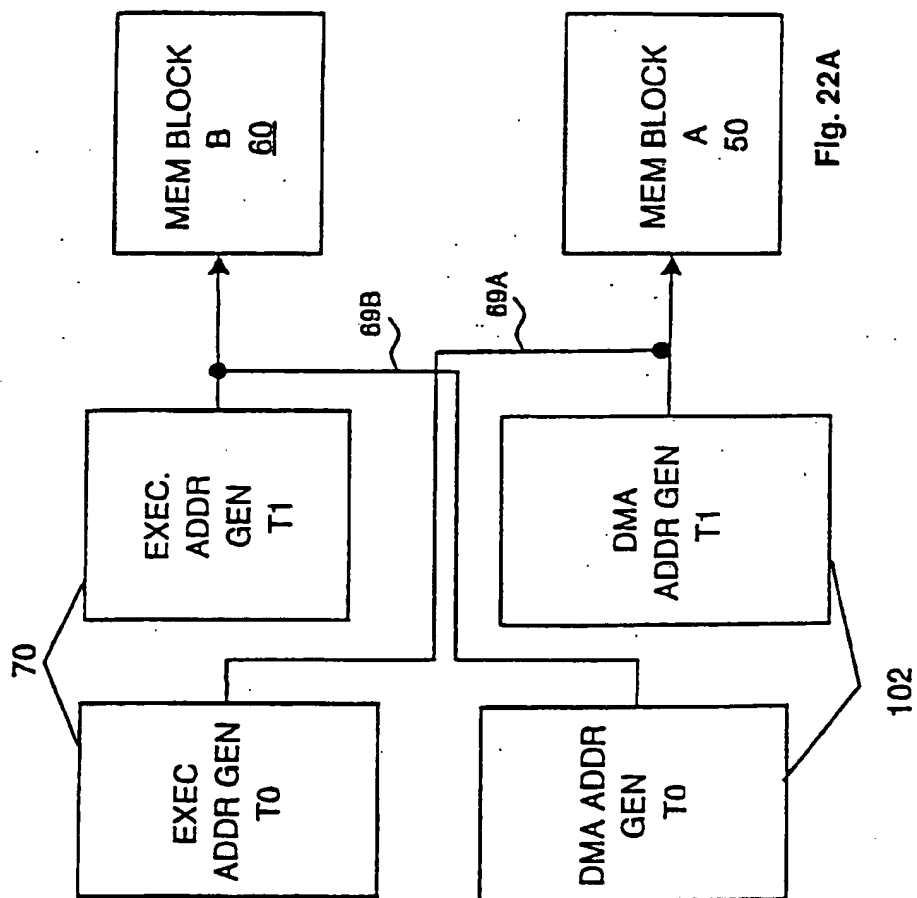


FIG. 21



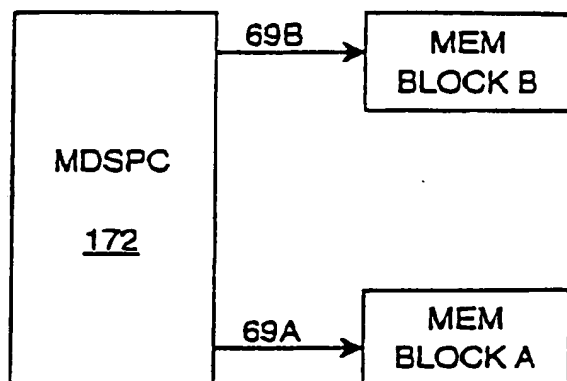


FIG. 22B

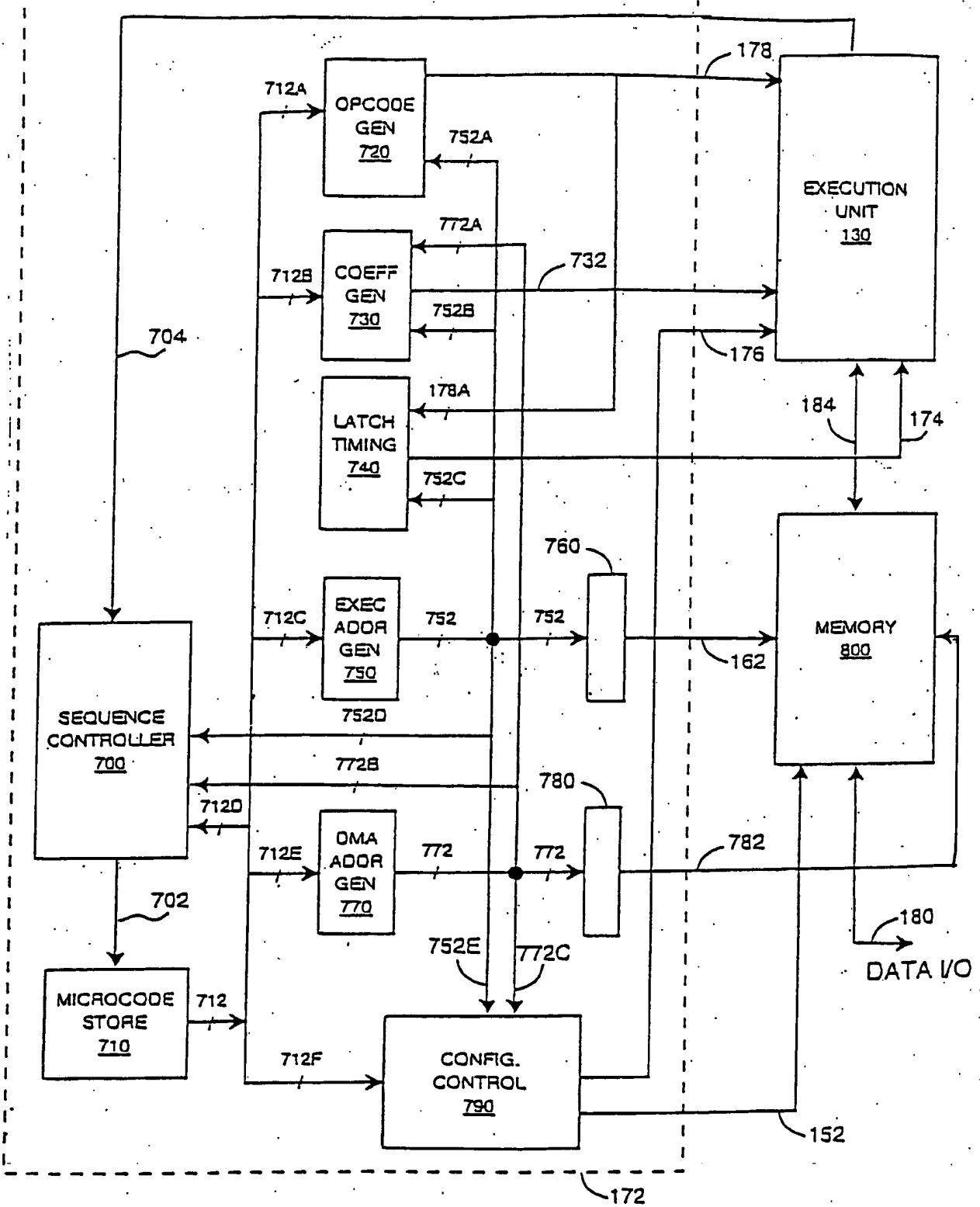


FIG. 23A

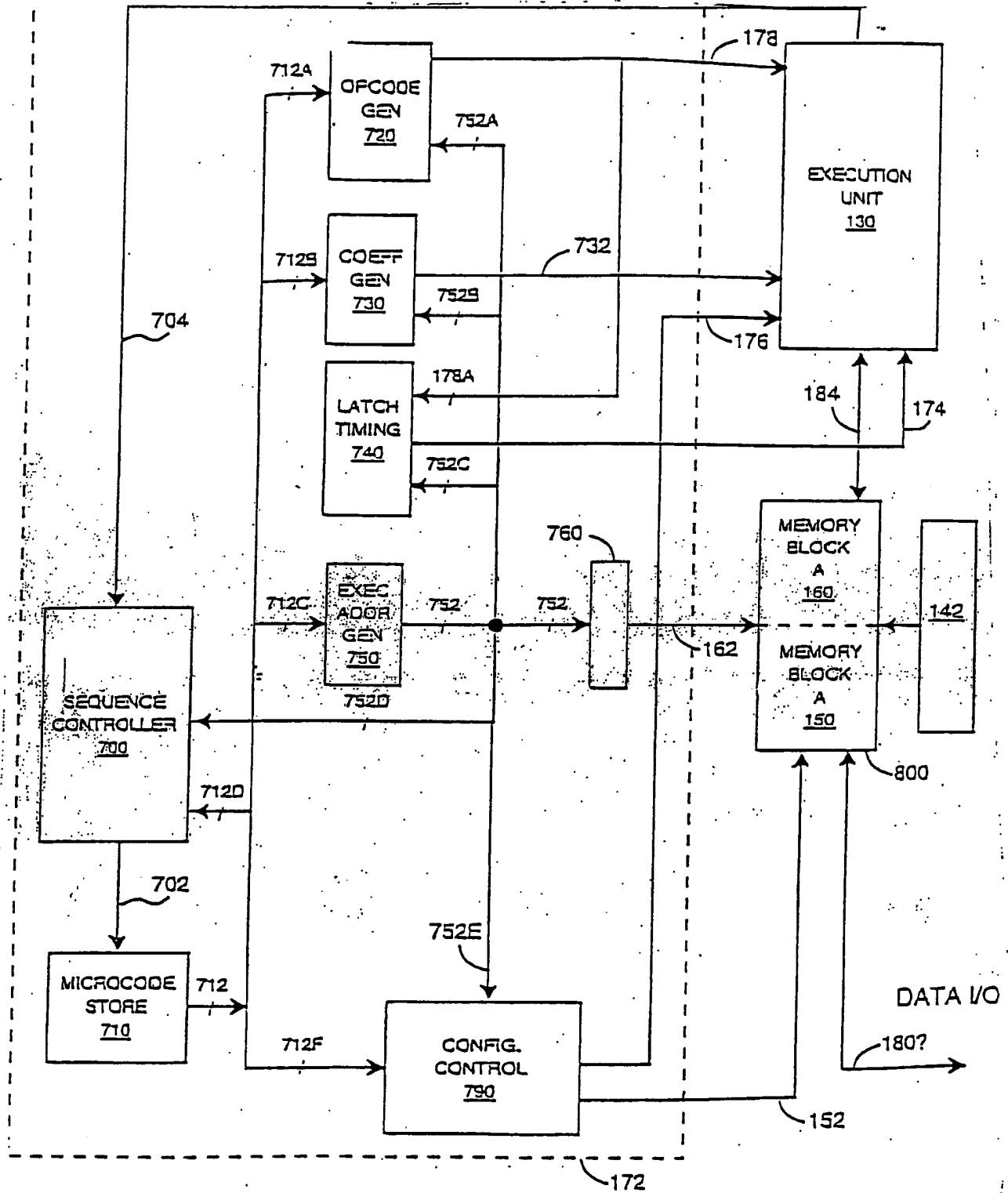
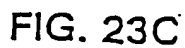


FIG. 23B





ADDRESS	FUNCTION
0x710	FFT RADIX 2
0x905	FIR FILTER
0x2100	CONVOLUTION

FIG. 24A

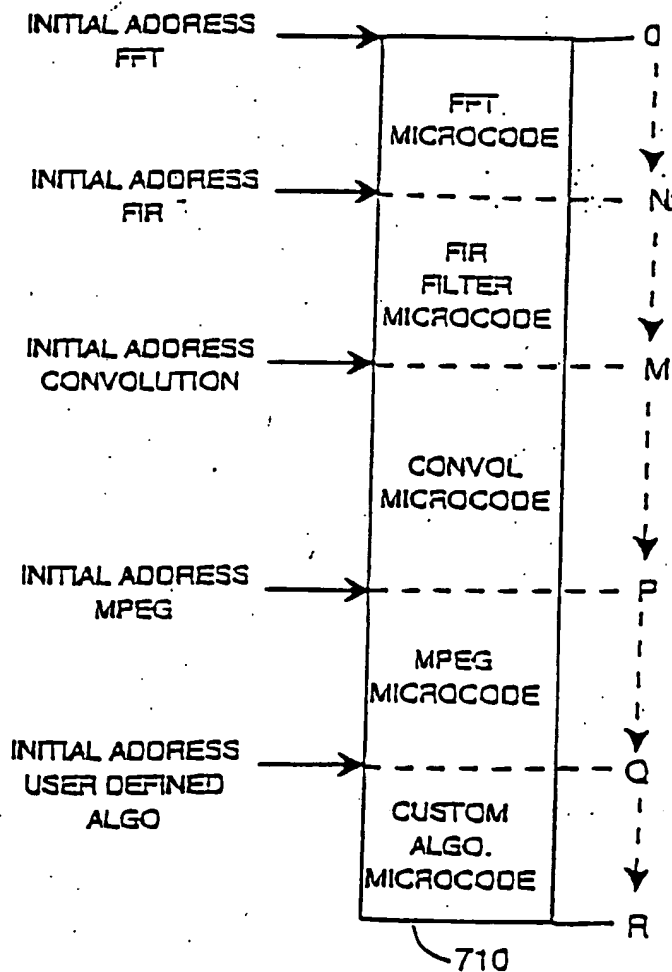


FIG. 24B

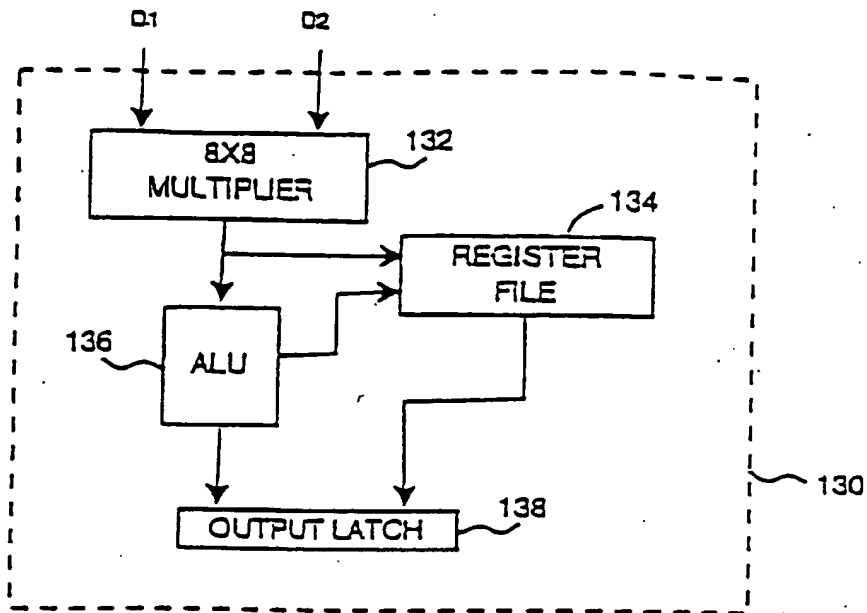


FIG. 25

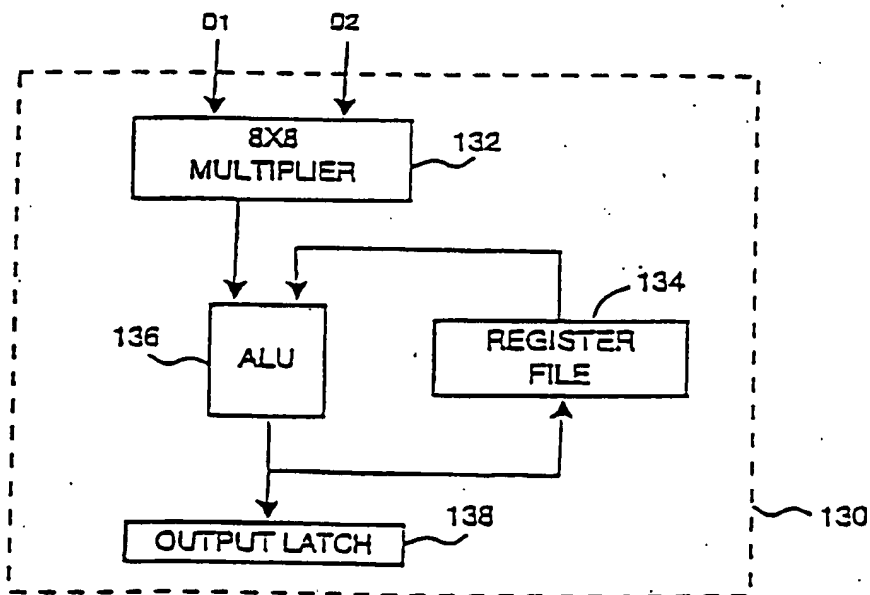
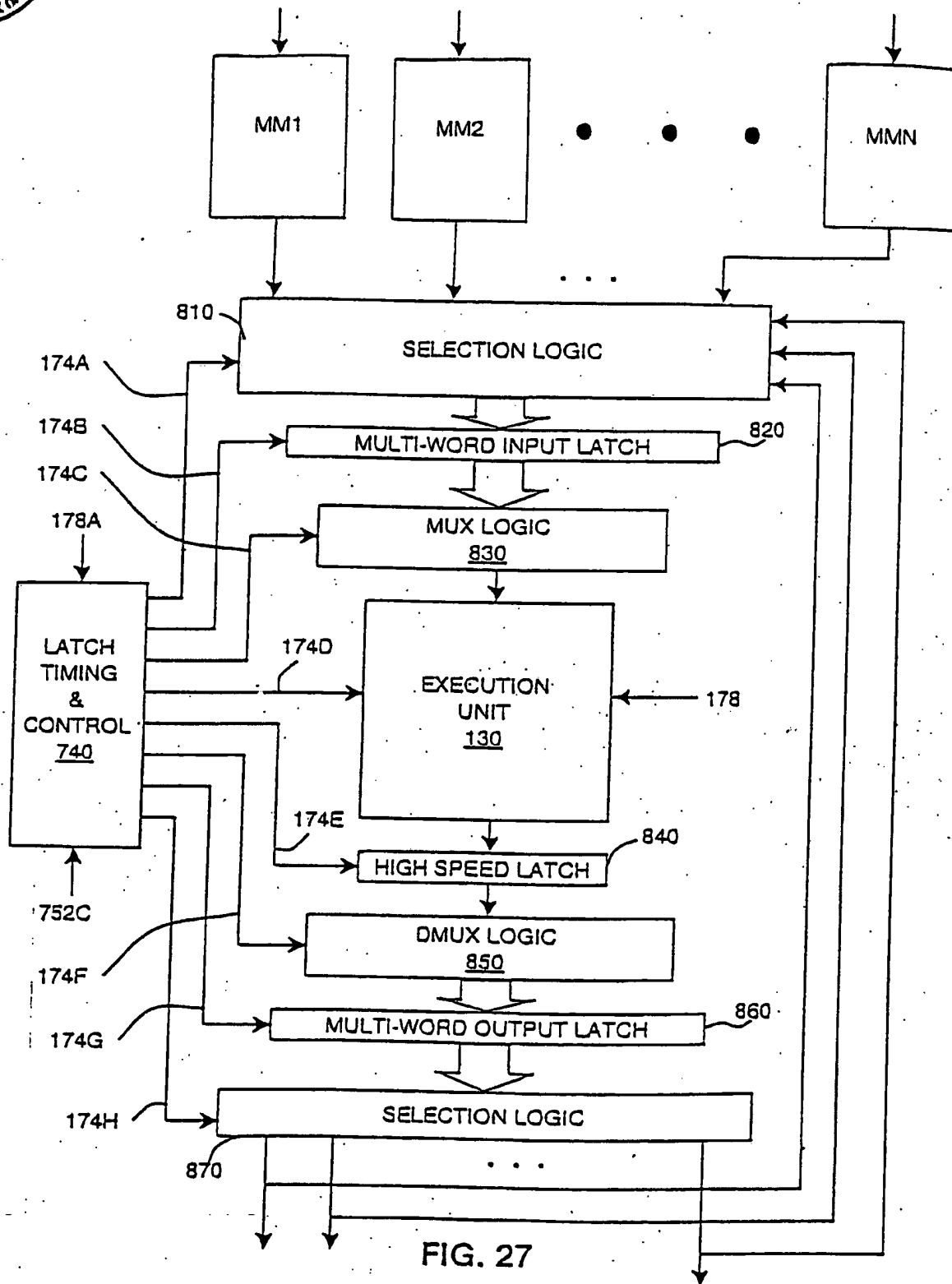


FIG. 26



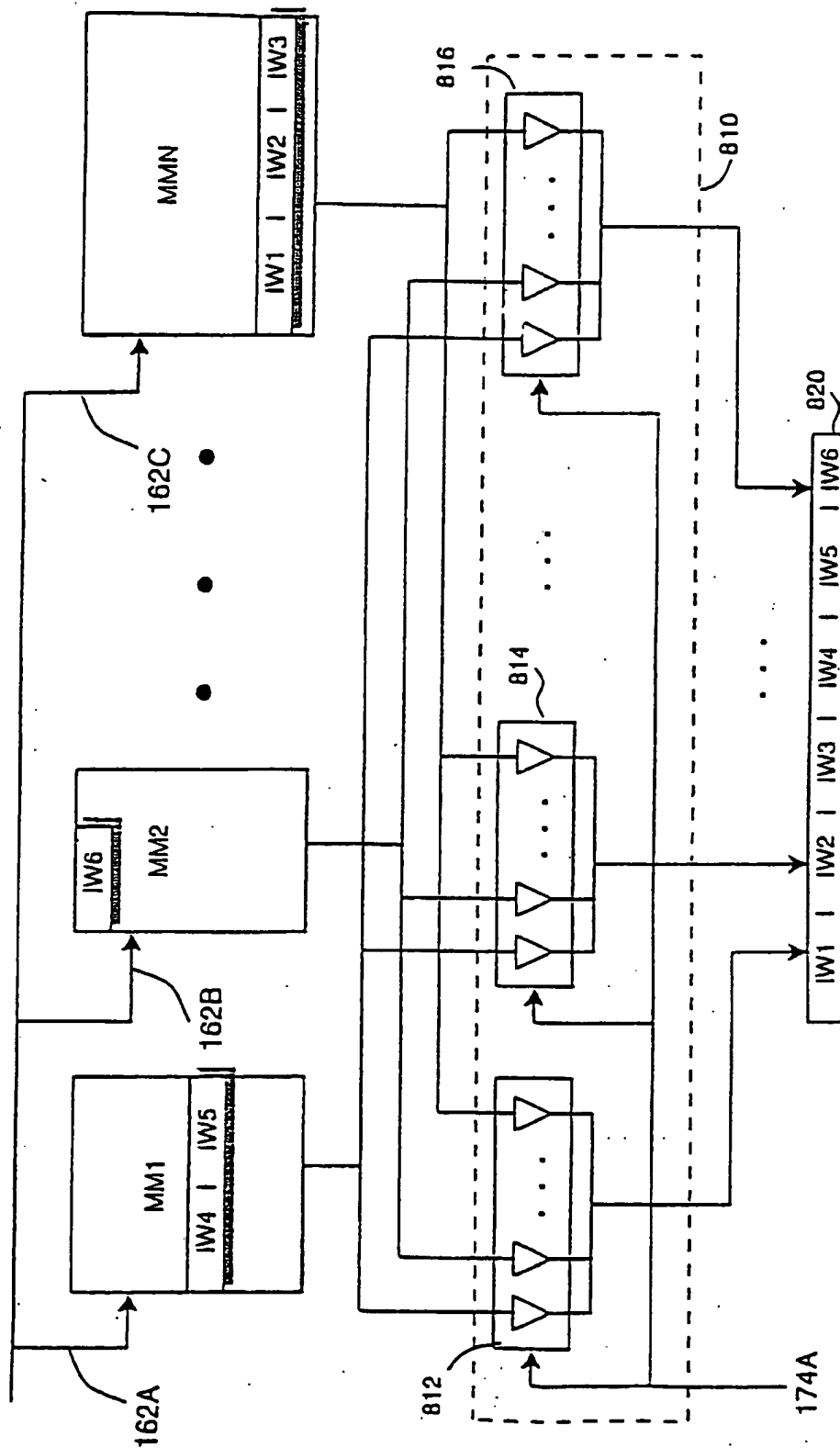


FIG. 28

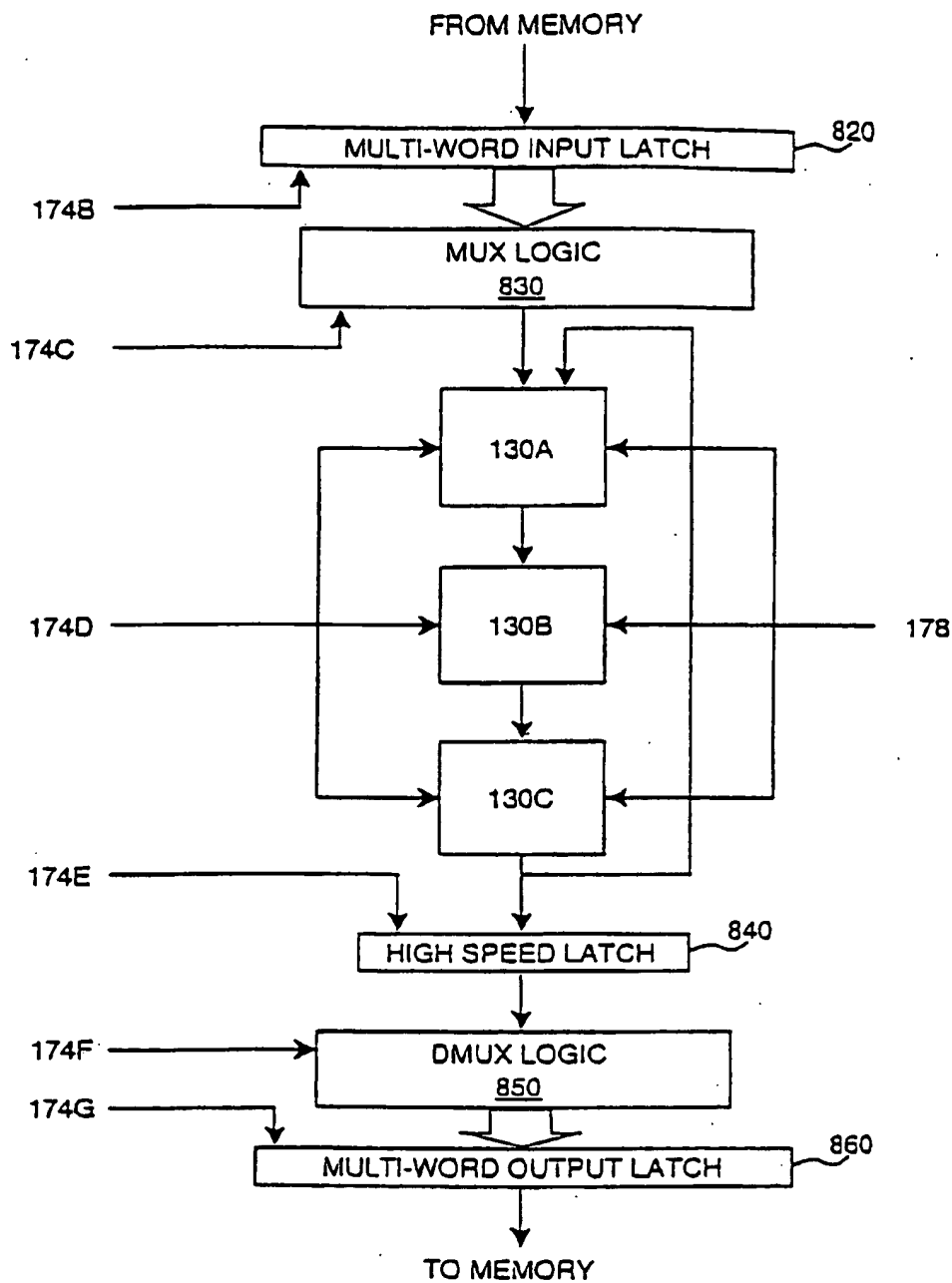


FIG. 29

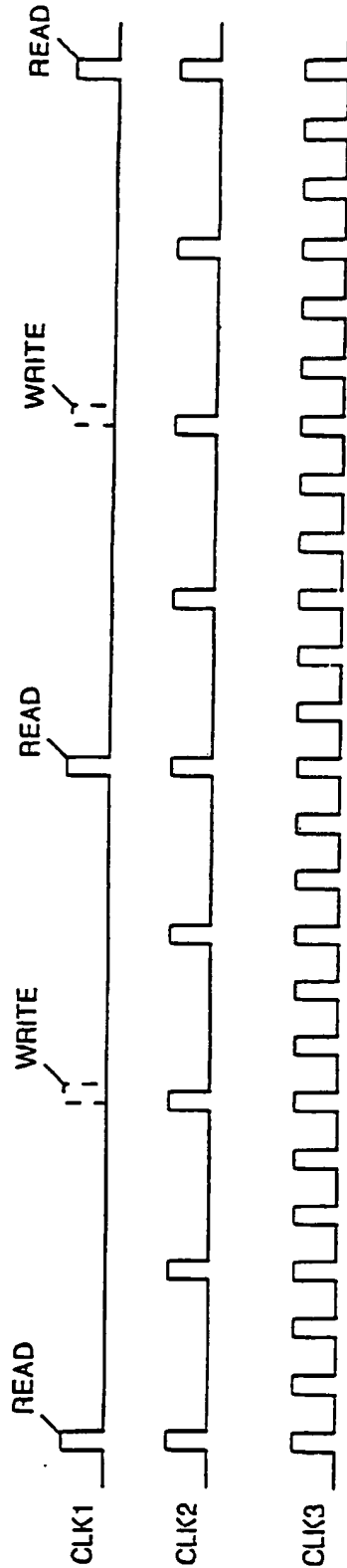


FIG. 30A

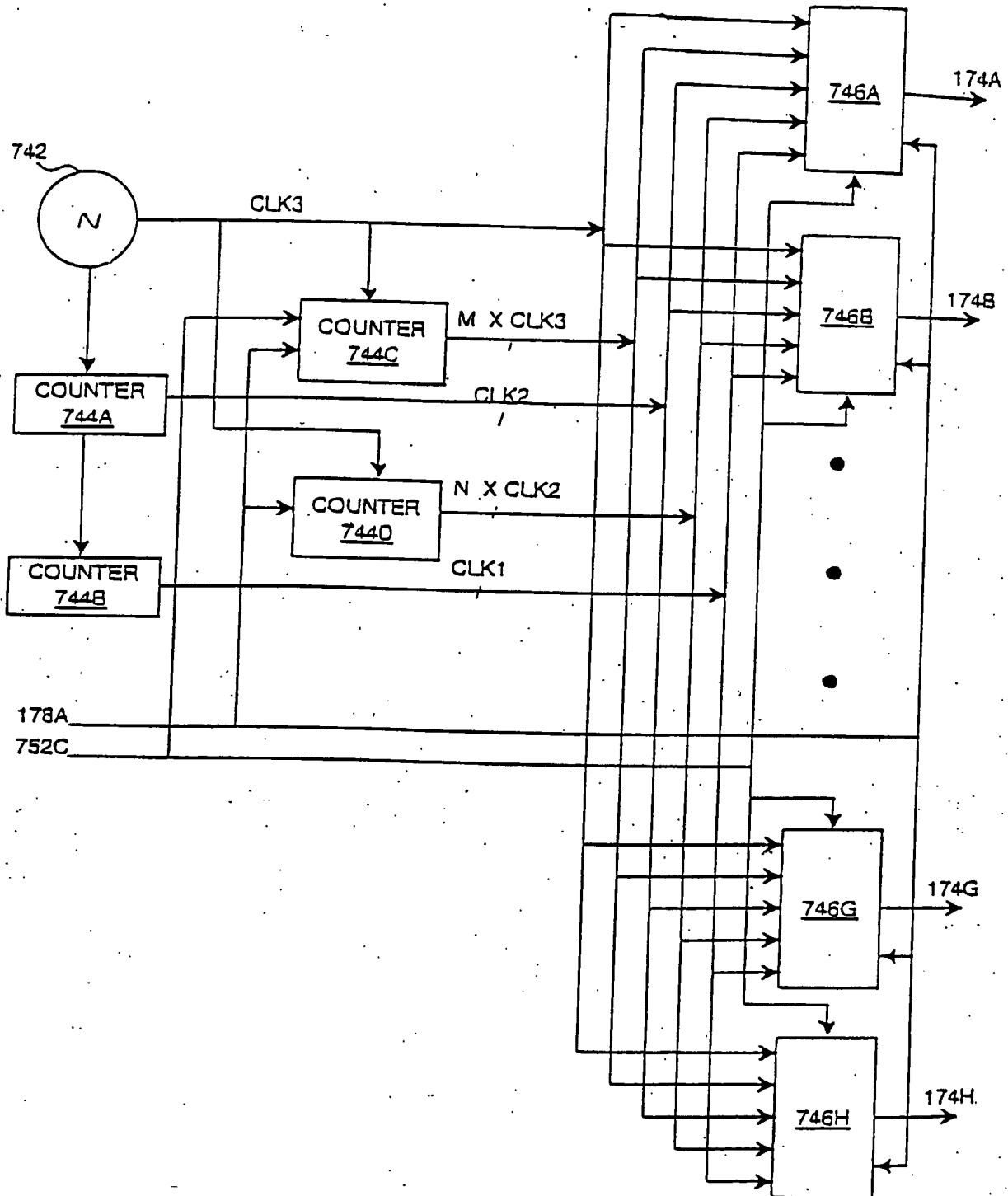


FIG. 30B

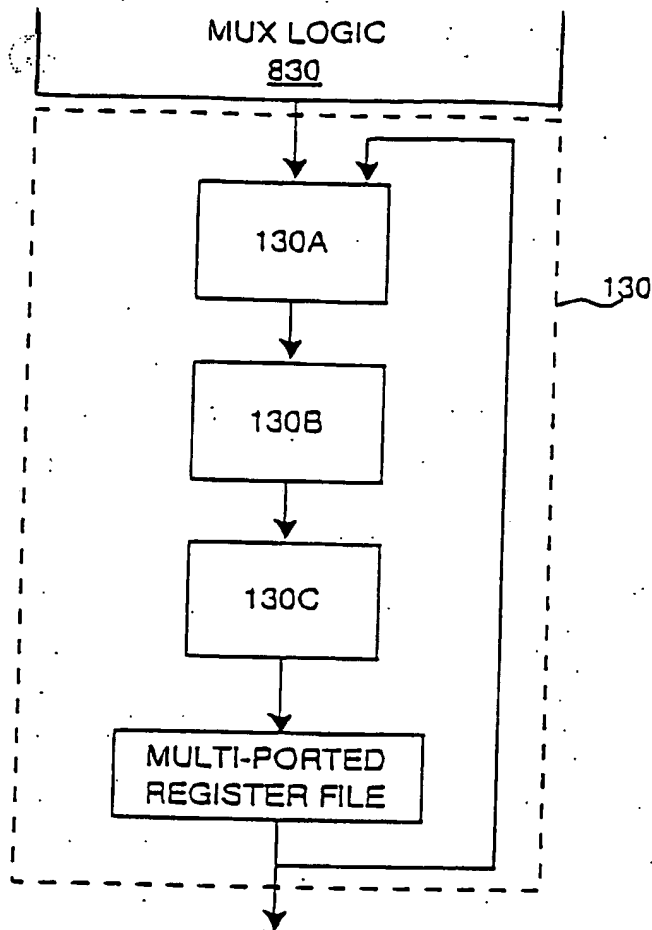


FIG. 31

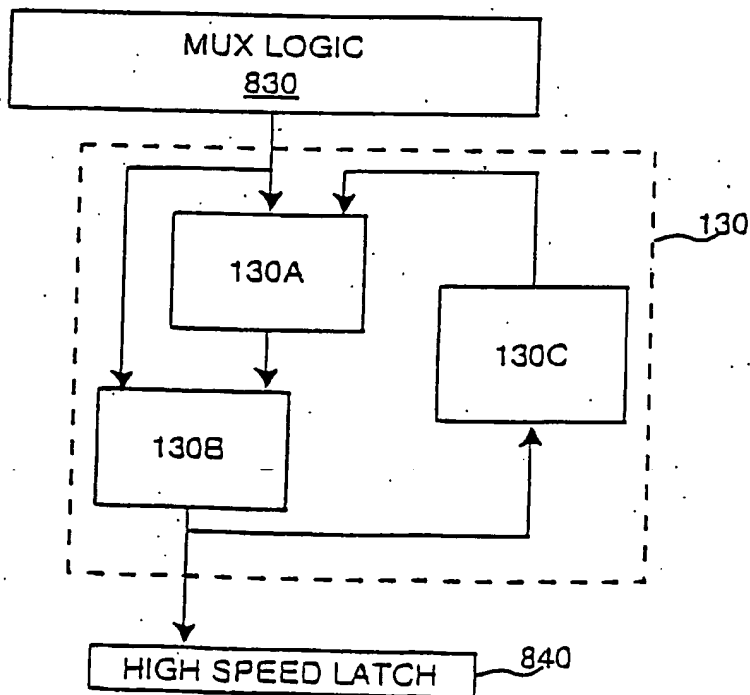


FIG. 32

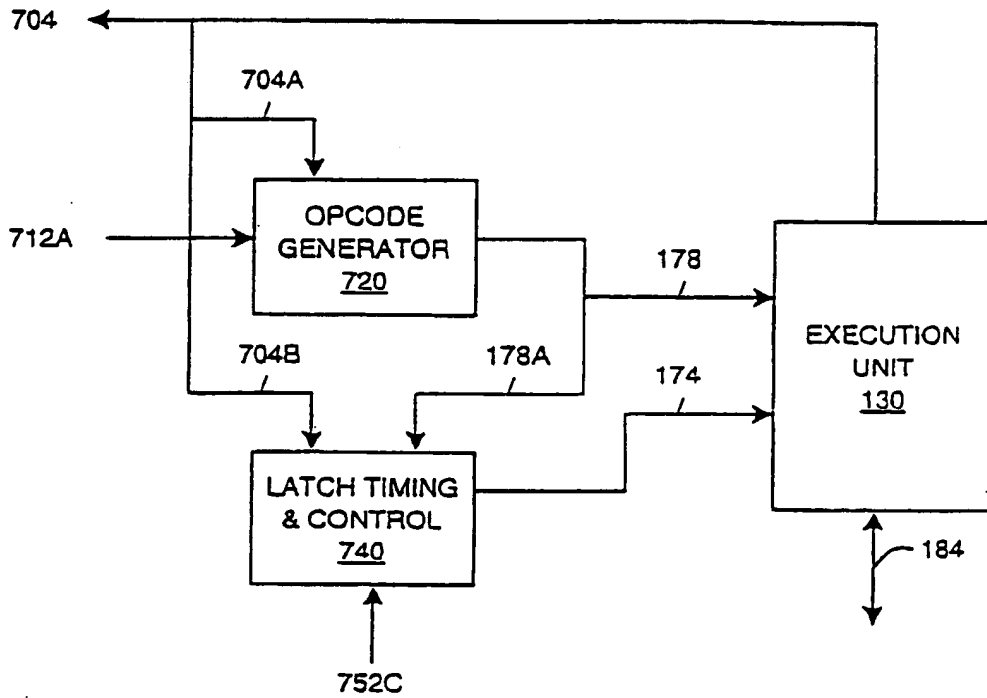


FIG. 33

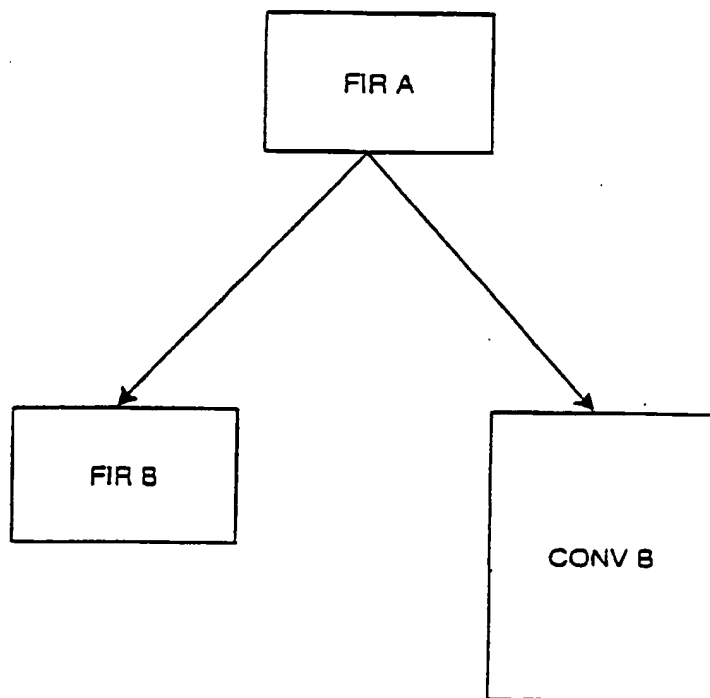


FIG. 34

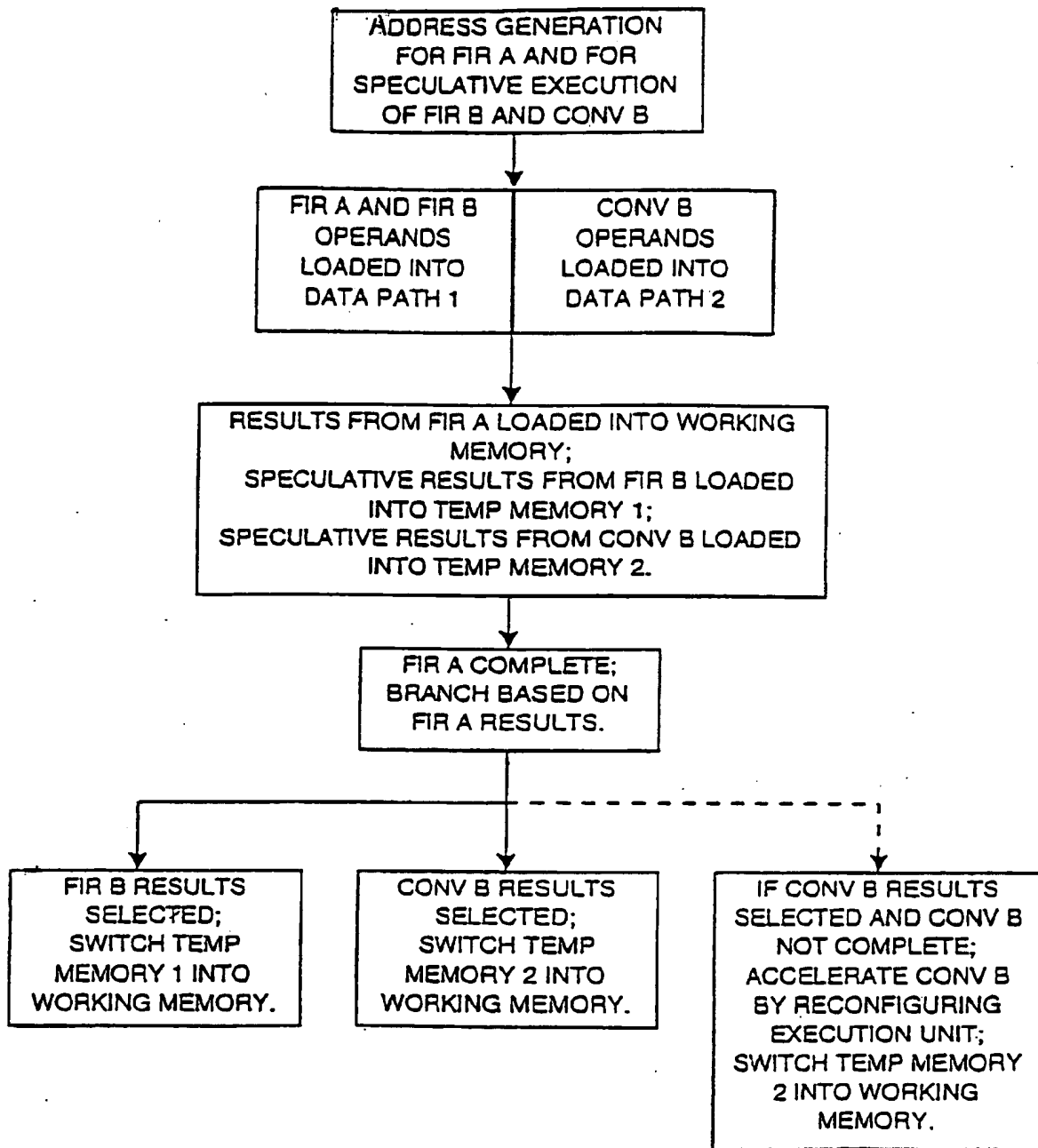


FIG. 35

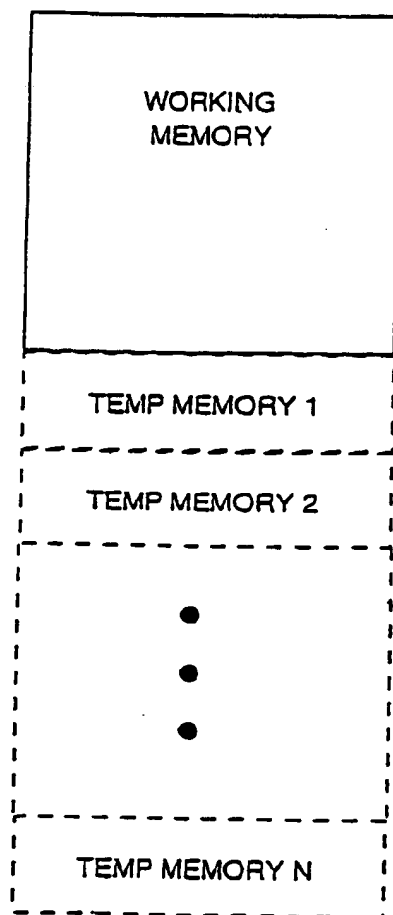


FIG. 36